

YILDIZ ÜNİVERSİTESİ
FEN BİLİMLERİ ENSTİTÜSÜ

YAPI HESAPLARINDA DİNAMİK ETKİLERİN
GÖZÖNÜNE ALINARAK İLGİLİ BİLGİSAYAR
PROĞRAMLARININ OLUŞTURULMASI

LİSANS - ÜSTÜ TEZİ

YÖNETEN : Öğr.Gör. Mete KARAKOÇ
YAPAN : İns.Müh. Kemal BEYEN

İSTANBUL - 1989

Bu tezin hazırlanmasında, her aşamada yardımlarını esirgemeyen, değerli görüşleriyle yol gösteren hocam Öğr.Gör. Mete YAKAKOÇ'a saygı ve şükranlarımı sunarım.

Büyük katkıları olan meslaktaşım ve arkadaşım Tolga ERGÜNEY'a da teşekkürlerimi sunarım.

İÇİNDEKİLER

SAHİFE

ÖZET	I
ABSTRACT	II
Hesaplarda Kullanılan Notasyonlar	III
GİRİŞ	1
BÖLÜM - 1	
1.1. Genel	2
1.1.1. Kuvvetler, Yapının Özellikleri ve Davranışı	3
1.1.2. Dinamik Kuvvet Sınıflandırması	4
1.1.3. Kütle	6
1.1.4. Yay Sabiti; Yay Kuvveti ve Potansiyel Enerji	7
1.1.5. Söndürücü	9
1.1.6. Sistemler	10
1.1.7. Genel Hareket Denklemi	12
BÖLÜM - 2	
Tek Serbestlik Dereceli Sönümsüz Sistemler	12
2.1. Serbest Titresim hali	12
2.2. Zorlanmış Titresimler	13
BÖLÜM - 3	
Tek Serbestlik Dereceli Sistemlerin Sönümlü Titresimi	19
3.1. Söndürücünün enerji yutması	19

3.2.	Serbest Sönümlü Titreşim	20
3.3.	Zorlanmış Sönümlü Titreşim	22
3.3.1.	Darbe Kuvveti	22
3.3.2.	Harmonik Kuvvet	23

BÖLÜM - 4

	Tek Serbestlik Dereceli Titreşen Sistemlerde Difransiel Eşitliğin Sayısal Çözümü	27
4.1.	Doğrusal İvme Metodu	27
4.2.	Dengenin Eşitliği ve Adım Adım Integral Alma	29

BÖLÜM - 5

	Çok Serbestlik Dereceli Sistemler	34
5.1.	Sistemlerin Idealize Edilmesi	34
5.2.	Çok Serbestlik Dereceli Sistemlerde Hareket Denklemleri	36
5.2.1.	Kuvvetlerin İncelenmesi	36
5.2.2.	Rijitlik Matrisi Elemanlarının Tesbiti	38
5.3.	Çok Serbestlik Dereceli Sistemlerde Sönümsüz Serbest Titreşimi	39
5.4.	Zorlanmış Sönümsüz Çok Serbestlik Dereceli Sistemler; Mod Süperpozisyon Metodu	42

SAHİFA

5.5 Sönümlü Sistemler: 44

BÖLÜM - 6

 Problem verileri: 47
 Problem - 1: 48
 Problem - 2: 49
 Problem için açıklamalar: 50
 Problem - 3: 51
 Deprem Davranış Spektrumu: 54

BÖLÜM - 7

 Bilgisayar programları: 55
 Problem sonuç çıkışları: 65

BÖLÜM - 8

 Tartışma ve Sonuçlar: 68
 Özgeçmiş: 70
 Yararlanılan kaynaklar: 71

Tez Kısa Özeti

Yapı Hesaplarında Dinamik Etkilerin Gözönüne Alınarak İlgili Bİgisayar Programlarının Oluşturulması

Bu çalışmanın ilk bölmelerinde dinamik yükler altındaki yapı sistemlerinin davranışını incelenmiş ve tek serbestlik dereceli bir sistemin doğrusal ve doğrusal olmayan tepkisinin teorik ve nümerik analizleri yapılmıştır. Nümerik analizleri için basic dilinde dinamik hareketin diferansiyel denklemlerinin nümerik çözümlerinden yola çıkılarak programları oluşturulmuş ve tek serbestlik dereceli (TSD) yapı dinamiği simülasyon problemlerinin çözümleri ve nümerik sonuçları karşılaştırılarak verilmiştir.

Son bölmelerinde çok serbestlik dereceli sistemlere (ÇSDS) ve spektral analiz metoduna girilerek, yapıdaki deprem hesabı analizi Türk Deprem Yönetmeliğinde yer aldığı şekilde incelenmiş modal analizin teorisi verilmiştir. Yapıya depremden gelen kuvvetlerin çok modlu spektral analiz yaklaşımı içinde çözen bir nümerik modal analiz algoritması geliştirilerek programı FORTRAN dilinde yazılmış ve uygulama olarak ise depremi spektrumlarından faydalananlarak çok katlı bir binanın çözümü yapılmıştır. Yazılan spaktral (modal) analiz programı sonuçlarıyla el çözümü mukayese edilmiş, sonuçları tartışılmış ve Türk deprem yönetmeliği ile yorumlanmıştır.

Abstract

Developing The Computer Programmes For The Dynamic Effects In Computational Structural Analysis

Yapı Hesaplamalarında Dinamik Etkilerin Obzöründe Alınarak Digitel Elgitcayır Programlarının Oluşturulması

In the first chapter of the study, effects of the dynamic loads on a simplified structural model, which is a single degree of freedom model (SDOF) are briefly explained. Essential parts of the differential equations for SDOF system are detailed, studied and verified based on the results obtained from a written code for a selected example problem. BASIC is used as a programming language to solve the differential equations. Results inferred from computer program and analytical solutions are compared to check the level of confidence.

Later, multi degrees of freedom systems, (MDOF) and spectral analysis method are briefly given. Analysis of a MDOF system to figure out the dynamic responses to earthquake like dynamic loading is explained theoretically based on the modal analysis method. FORTRAN is used as a programming language to solve the Eigen Value Problems (equations). In applications, different earthquake spectra are used for a typical multi story building, which is represented by a MDOF model in numeric analysis. Results inferred from computer program and analytical solutions are compared to check the level of confidence.

Results inferred from both studies (SDOF system solutions and MDOF system solutions) are discussed and compared with the current Turkish Earthquake Code's requirements.

HESAPLARDA KULLANILAN NOTASYONLAR

- A : Alan, sabit
- a : Mesafe
- a_n, a_o : Sabitler
- b : Mesafe
- b_n : Sabit
- C : Sönüüm sabiti
- C_c : Kritik sönüüm değeri
- C_n : Normal modda genelleştirilmiş sönüüm değerleri.
- D : Dinamik matris
- DYF : Dinamik yük faktörü
- E, I : Young modülü, Atalet momenti
- f : Frekans
- P_A : Atalet kuvveti
- f_I : Atalet kuvveti
- f_D : Sönüüm kuvveti
- f_S : Yay kuvveti
- $F(t)$: Kuvvet fonksiyonu
- g : Yer ivmesi
- G : Kayma modülü
- h : Eleman kalınlığı, Kat yüksekliği
- Hz. : Hertz (frekans ölçüsü, sn.'de bir tur)
- I : Impulse
- I : Birim matrisi
- J, J_o : Polar atalet momenti
- k, k_1 : Yay sabitleri
- \bar{k} : genelleştirilmiş yay sabitleri

- $\tilde{k}(t)$: effektif rijitlik
- K_n : n'inci normal modda genelleştirilmiş rijitlik
- L : Uzunluk
- m : Kütle, değişken
- m_i : iinci kütle
- M_n : Genelleştirilmiş n'inci normal moddaki kütle
- M_d : Devrilme momenti
- $N_{,n}$: Eksenel yük, zaman aralığı Δt sayısı, serbestlik derecesi sayısı.
- P, P_0 : Yük, kuvvet
- $P_n(t)$: n'inci normal modda kuvvet fonksiyonu
- PSD : Yalancı spektral deplasman değeri
- PSV : Yalancı spektral hız değeri
- PSA : Yalancı spektral ivme değeri
- q, q(t) : Her modun mukabeleye katkısını belirleyen amplitud vektör.
- R : Yay kuvveti
- S : Transfer matrisi
- s : Sabit
- t, t_i : Zaman, i zaman istasyonu
- T : Titresim periyodu
- T_n : n'inci mod titresim periyodu
- U : Deplasman, konum
- U, U, U_{st} : Hız, ivme, statik deplasman sırasıyla
- V : Kesme kuvveti
- w_n : Açışal doğal frekans
- w : İş, Ağırlık

- w : Açışal frekans
- x,y,z : Koordinat elementleri, mesafe, değişken
- β : Frekans yüzdesi
- γ : Özgül ağırlık
- Δ : Delta
- ε : Deplasman (Şekilde)
- λ_n : Değişken, n'inci karakteristik (Eigen) değeri
- Θ : Eğim, dönme, açı değişkeni
- μ : Püktülite sabiti
- γ : Poizin oranı
- ξ_{η} : Sönüüm yüzdesi
- ζ : Gerilme
- τ : Zaman
- ϕ_{ij} : Modal deplasman
- ϕ_n : n'inci mod şekli
- Φ : Modal şekil matrisi
- ω : Açı değeri

-GİRİŞ-

Dinamik bir çok alt bilim dallarını bünyesinde toplayan bir bilim dalıdır. Bu sebeple bu çalışmada yapının dinamiği başlığı altında temel bilgileri içeren bahisden sonra pratige yönelik nümerik analizlere ve bazı analizler için kullanılacak bilgisayar programlarının oluşturulmasına ağırlık verilmiştir.

En genel manada bir dinamik tesir altında bulunan bir yapı sisteminin incelenmesi, analizi oldukça zordur. Bu zorluk bazı kabüller ile yenilmektedir. Bu kabüller sisteme etkiyen dinamik kuvvetlerin özelliklerinde ve tesir etkisi altında kalan sistemin dinamik karakterinde gerçekleşmektedir. Bu kabüller ve bilhassa inşaat mühendisini ilgilendiren husular yeri geldikçe açıklanacaktır.

Bu çalışmada yapıya en büyük hasarı verdiren yönü ve şiddeti tam bilinmeyen, tesadüfi karakterleri olan depremin yapıda doğurduğu iç kuvvetleri spektral analizle incelenmiştir. Tezde amacım mevcut bulunan teorik bilgileri uygulama sahasında bilgisayar destekli bir mühendislik ile uygulamakdır. Bu maksatla belirli problemler tipleri için teorik bilgilerin sonunda üçtane bilgisayar programı yapılip, örnek tip probleme uygulanıp, çözüm çıkışları alınarak, eklenmiştir. Programlar için gerekli bilgiler program içerisinde hatırlatma ve yazma başlıklarının altında ne işlemi yaptığı ve çözümü hangi aşamaya getirdiğini belirtmek amacıyla açıklanmıştır.

1.1.GENEL

Cisimlerin davranışını, statikde olduğu gibi, tabiatın denge kanunları çerçevesinde inceleyen dinamik, statikte bilinen değişkenlere ilaveten cisimlerin bir takım özellikleri kütleleri, etkiyen kuvvet - zaman değişimleri ile özellikleri bilinen bir yapının dinamik zorlamalar altında davranışını inceler. Bu incelemede alaka konuları ise ; zamana bağlı kuvvetler, yapının özellikleri ve yapıının davranışıdır. İnşaat mühendisliğinde ; zamanla değişen dinamik tesirlerin bir taşıyıcı sisteme ihmal edilmeyecek atalet kuvvetlerinin oluşmasına sebeb olacağı durumlarda sistemin dinamik hesapları yapılır. İnşaat alanında kullanılan şartnamelerde bir takım amprik formüller ile belirli sınırlar arasında dinamik yüklerin yapıya tesiri yerine eşdeğer bir statik tesir alınarak veya dinamik tesir kat sayısı ile statik yükler büyütülerek veya da emniyet kat sayısı yada gerilemesinde dinamik tesiri karşılayacak şekilde değişiklik yapılarak hesaplanmaktadır.

Fakat mühendislik alanındaki gelişmeler ve yeniliklere paralel olarak dinamik tesirlerin daha doğru değerlendirilmesi bilgisayar destekli bir hesap ortamında daha doğru bir yaklaşım olacağı kanaatindeyim.

Bu çalışmada bazı yük ve titreşim altında oluşan yanal deplasmanlar ve bunların neden olduğu eleman uç kuvvetleri incelenecek ve irdelenecektir.

1.1.1. KUVVETLER, YAPININ ÖZELLİKLERİ VE DAVRANIŞI :

Deprem, patlama kuvveti, darbe, rüzgar veya makina ve motorların meydana getirdiği titreşim kuvvetleri zamana bağlı kuvvetlerdir. Kuvvetin zamanla değişmesi yapının mukatelesinin zamanla değişmesine neden olacaktır. Yapı dinamikinde genellikle kısa süreli (birkaç saniye) kuvvetler önemlidir. Sayılan tesirler dıştan, içten, deplasman cinsinden, kuvvet cinsinden, gibi birtakım sınıflamaların içine sokulabilir.

Yapının oturduğu zeminin durumu, yapının boyutları, malzemesi ve yapının konumu genelde bize yapı özelliklerini verir. Yapının konumu bahsine biraz değinelim. Değişik eksenleri olan bir yapıya etkiyen dinamik yüklerin yönü önemlidir. Öyleki simetrik yapılarda burulmalı titreşim meydana gelebileceği gibi, simetrik bir yapıya, simetri eksenine göre etkimeyen kuvvetlerde burulmalı titreşim oluşturabilir.

Yapı Özellikleri ve etkiyen kuvvetlerden yola çıkılarak matematiksel ifadelerle yapı idealize edilerek, titreşim sistemine ait mekanik bir model oluşturulur, sonra kütlelere ait titreşim denklemleri kurularak çözümü yapılır. Burada bazı kabüllere giderek yapının davranışını tanımlanmış sınırlarda irdelemek gereklidir. Mesela ; yapının hesaplanan mukatelesinin, yapıyı elastik limit haricinde davranışa maruz bırakıp bırakmayacağı incelenmelidir. Eğer yapıda bir plastikleşme söz konusu olacaksa yapının rijit-

lığı, mukavemeti ve dolayısıyla mukabeleside değişecekdir. Elastik olmayan davranışları içeren durumlarda, yapıların elastik limit dahilinde kaldığı kabul edilerek yapı tit - reşimi kavramı incelenecektir.

1.1.2. DINAMİK KUVVET SINİFLANDIRILMASI :

Genliği belirli bir zaman içerisinde tekrar eden kuvvette, periyodik kuvvet denir. Bu tür kuvvetler yapının davranışını belirlemekte çok önemlidir. Herhangi bir dinamik kuvvet aşağıdaki sınıflamadan birine girer.

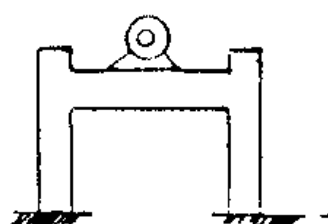
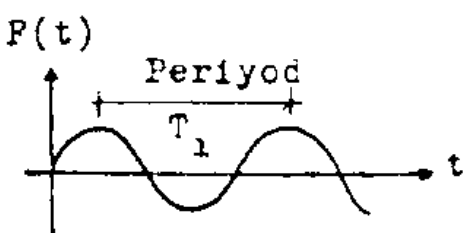
- a - Periyodik kuvvetler
 - b - Periyodik olmayan kuvvetler
 - c - Deterministik kuvvetler
 - d - Random kuvvetler

Periyodik olmayan kuvvetler genlige sahip olmayan kuvvetlerdir. Deterministik kuvvetler yapisini, tabiatini tarifleyebildigimiz kuvvetlerdir. Random kuvvetler, keyfi olup, hicbir tarif icerisine girmeyen kuvvetlerdir.

Bunların diyagram ve örnekleri aşağıdadır :

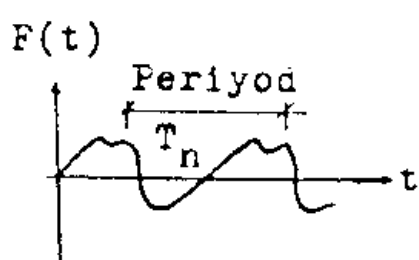
a) Harmonik :

Örnek

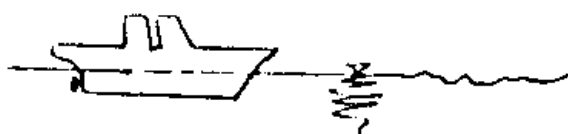


Yapıda
dönen bir
makina

b) Harmonik Olmayan :



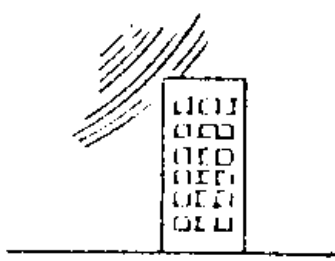
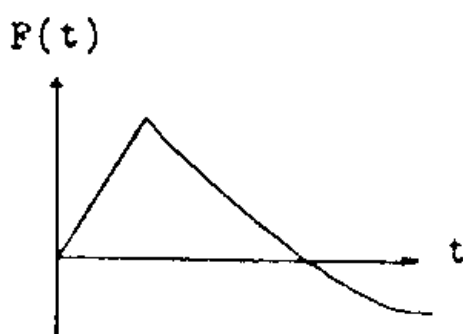
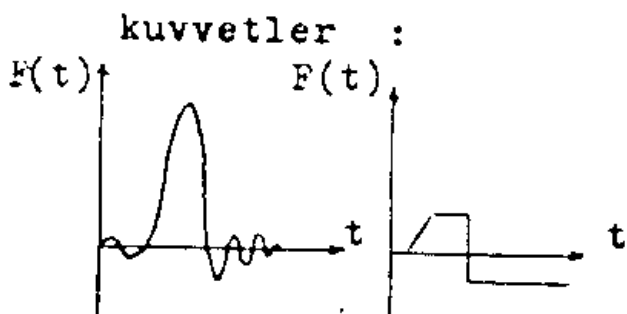
Örnek :



Gemi arka -
sindaki
pervane
gücü itici
kuvveti.

c) Periyodik olmayan

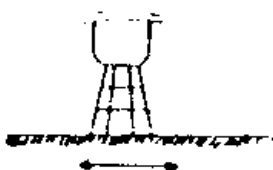
Örnek :



Bomba
infilakinin
binaya te-
siri.

Random kuvvetler :

Örnek :

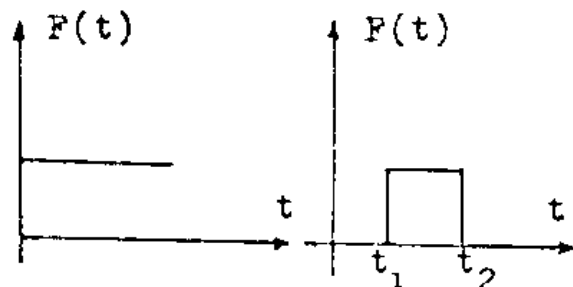


Deprem
esnasinda
su deposu

Dinamik kuvvetleri kuvvet fonksiyonunun tipi ilede
tarifleyebiliriz.

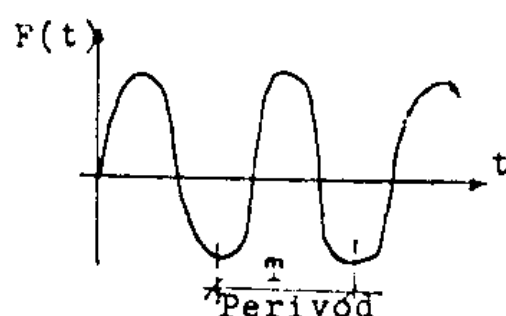
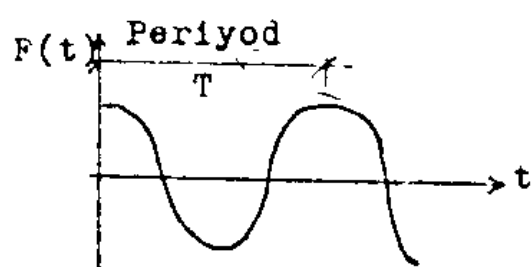
a) Basamak (darbe) kuvvetleri:

Çok kısa zamanda belirli
değere erişen kuvvetler-
dir.



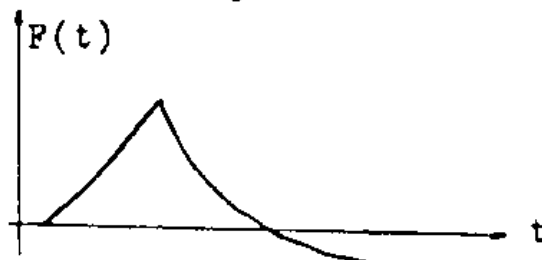
b) Sinusoidal kuvvetler :

Sabit açısal hızla
dönen eksantrik
bir kütlenin ha-
reketi ile oluş-
bilir.



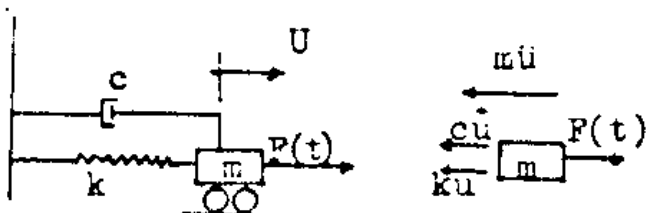
c) Patlama sonucu kuvvetleri :

Diyagramdan görüleceği gibi
önce basınç sonra emme ola-
rak yapıya tesir eder.



1.1.3. KÜTLE :

$m = G / g$; pratikte, yapı elemanlarının ağırlıkları
ve yükleri yaylı isede, Ağır-
lıkların ve dolayısıyla küt-
lelerin münferit noktalarda
toplandığı kabül edilir. Küt-
le, titreşim denkleminde ha-
reketin aksi yönündeki ata-
let kuvveti teriminde yer alır. (Şekil 1 - b)

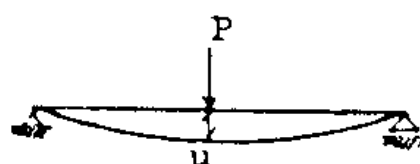


ŞEKİL - 1 (a) (b)

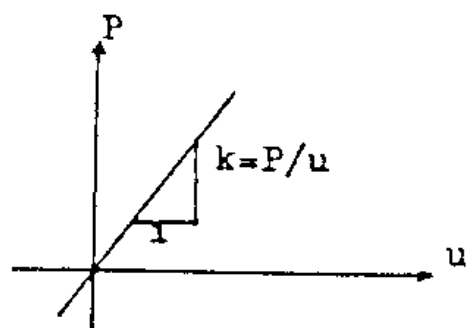
Tek serbestlik dereceli s.

1.1.4. YAY SABİTİ; YAY KUVVETİ VE POTANSİYEL ENERJİ :

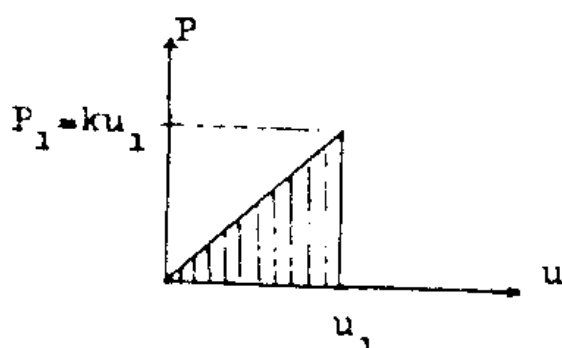
Yanda görüldüğü gibi basit kirişte P kuvveti doğrultusunda u deplasmanı oluşturur. Kiriş lineer elastik ve deplasmanlar ufak olduğu sürece P kuvveti ile tatbikinden oluşan doğrultusundaki u deplasmanı arasında bir oran mevcuttur. O halde kirişe tatbik edilen kuvvet doğrultusundaki birim deplasmani sağlayan kuvete yay sabiti (k) diyoruz. Kirişin şekil değiştirmesi ile biriken potansiyel enerji kirişden P kuvvetinin kaldırılma siyla kiriş eski haline hareket ederek kinetik enerjiye dönüşecektir. Böylece biriken potansiyel enerji kirişe "eski şekline dönmesi" veya "yaylanması" yeteneğini vermektedir. Bu esnada yayın kiriş kütlesine tatbik ettiği kuvete yay kuvveti ($k \cdot u$) diyoruz. Genellikle yapıda kolonların



Kiriş sehimi



Lineer sistemde yay sabiti



$$\text{Alan} = P_1 U_1 / 2$$

$$= k \cdot U_1^2 / 2$$

ŞEKL - 2

Idealize Edilmiş Sistem ve Yük Durumu	K
	$48 \cdot EI / L^3$
	$\frac{3EI}{L^3}$
<p>A = Kesit Alanı</p>	$\frac{AE}{L}$
<p>J_p = Polar atalet momenti G = Kayma modülü</p>	$\frac{GJ_p}{L}$
	$\frac{24EI}{h^3}$
	$\frac{15EI}{h^3}$
	$\frac{6EI}{h^3}$
SEKİL-3 Idealizasyon ve Yay Sabitleri	

yay vazifesi gördüğü kabul edilir. Yay sabiti statikten bilinen metodlar ile bulunur. Çeşitli kuvvet - deformasyon durumlarına göre yay sabitleri Şekil - 3 deki tabloda verilmiştir.

1.1.5. SÖNDÜRÜCÜ :

Titreşim halindeki bir sistemde iç ve dış sürtünme ve titreşimi besliyen kuvvet olmasa, potansiyel enerji ile kinetik enerji arasındaki denge hareketi devam edicekdir. Gerçekte ise hareketin titreşim deplasmanları devamlı olarak azalır ve nihayetinde sona erer. Demek ki sistemde bir söndürücü tesir vardır. Bu tesir harekete zıt yöndedir. Sönüüm tesiri esas itibarıyla şu üç sebeften ileri gelir.

- a) Sistemin molekülleri arasındaki sürtünme.
- b) Sistemin içinde bulunduğu ortamdan gördüğü direnim.
- c) Sistemin bağlantılarından ve bitişigindeki yapılarla temas yerlerindeki sürtünme.

Yukarıdaki şıklara bağlı olarak diyetibilirizki her malzemenin iç sürtürmesinden ötürü söndürüm kabiliyeti vardır. Bir yapı sisteminde ise söndürüm gücünü çoğaltabilecek elemanlar olabilir. Örneğin dolgu duvarları, yapı elemanlarının bağlantı noktaları, plastikleşme ve betonarme bir yapıda ki, çatlıklar söndürüm gücünün derecesi ile ilgili dir. Söndürümden ötürü, enerji yutulmaktadır. Dolayısıyla deprem mühendisliği açısından enerji yutma özelliği fazla olan yapılar tercih edilebilir.

Sistemin hareketini durdurucu bu süňüm tesiri için

her sistemde geçerli olmak üzere bir matematiksel ifade vermek mümkün değildir. Hatta herhangi bir özel sistem için dahi gerçeği yansıtacak bir ifade vermek mümkün değildir. Fakat bu idealizasyona gidilerek titreşim denklemle - rinde, söndürüm kuvvetiyle temsil edilir. Bu kuvvetler, coulomb söndürümü olarak tanınan sürtünme kuvveti ve viskoz söndürüm kuvvetidir. Tecrübe ve deneyler yapılardaki söndürüm kuvvetinin genellikle viskoz söndürümü tipinde olduğunu göstermiştir. Söndürüm kuvveti titreşim hızı (\dot{u}) ile orantılıdır. Söndürüm sabiti C, ve söndürüm kuvveti C. \dot{u} olarak alınır.

1.1.6. SİSTEMLER :

Elemanları inceledikten sonra, sistemlere şöyle bir göz atarsak, sıralama ;

- a) Münferit veya sürekli sistemler.
 - b) Sönümlü veya sönümzsüz sistemler.
 - c) Lineer veya lineer olmayan sistemler.
 - d) Sertest veya zorlanan sistemler.
- a) Münferit veya sürekli sistemler, kütlenin durumu ile ilgili bir sınıflandırmadır. Münferit sisteme kütle belirli sayılı noktalarda toplanır. Genellikle, kiriş üzerinde düşünülen ve sonradan münferit noktalarda toplandığı varsayılan kütle, katlı yapılarda bir kat için, kat ağırlığı ile katta birleşen kolonların ağırlıklarının yarısı olarak kabuledilebilir. Kirişlerin bu titreşimde sonsuz rijitliği bulunduğu, ve sadece kolonların deformasyona uğradığı ka -

bul edilir. Her münferit kütle için bir titreşim denklemi oluşturulacağından çok katlı yapılarda kat sayısı kadar serbestlik derecesi veya koordinatları olduğu kabul edilir. Bu şekilde idealize edilen çerçevelere kesme çerçevesi diyoruz.

Sürekli sistemlerde kütleler eleman uzunluğunda yoktur. Bu sistemlerin titreşim denklemeleri kurulurken a - talet kuvvetlerinin sürekli kütlelerin diferansiyel bir parçasına etkidiği farzedilerek elde edilir. Sürekli sistemlerin sonsuz sertheslik dereceleri vardır.

b) Sönümlü veya sönünsüz sistemler, yapının enerji yutma yeteneğine göre yapılan sınıflandırmada yapının sönülü veya sönünsüz sistem olabileceği, sönüm sabitleri için deneylerden elde edilen ve eski tecrübelere dayanan neticelerden testbit edilir. Birçok sistemde sönüm, hesapları kolaylaştırması bakımından ihmali edilir.

c) Lineer veya lineer olmayan sistemler, malzemelerin gerilim birim uzama ($\sigma - \epsilon$) ilişkileri, dinamik yüklerin şekli veya eksenel kuvvetlerin varlığını yansıtan bir sınıflandırmadır.

d) Serbest veya zorlanan sistemler, sisteme tesir eden dinamik kuvvetin varlığına göre sistemler, serbest veya zorlanan sistemler olarak sınıflandırılabilirler. Dinamik kuvvet, deprem patlama, darbe veya zamana bağlı bir takım kuvvetler olabilir.

1.1.7. GENEL HAREKET DENKLEMİ :

Yukarıda verilen bilgilerin ışığında, genel olarak bir sistemde, kütle atalet kuvveti ve dolayısıyla kinetik enerji, yay, yay kuvveti ve dolayısıyla potansiyel enerji, söndürücü, sönüüm kuvveti ve sönüüm enerjisi, sistemi dışarıdan besleyen besleme enerjisi dediğimiz dinamik kuvvet mevcuttur. Enerjiler arası ıllintı nedeniyle, enerjiler arasındaki denge titresimin devamını sağlar. Şimdi sorunumuz bir sisteme etkiyen kuvvetler arasındaki bağlantıların matematiksel ifadesini oluşturmaktadır.

D'Alembert prensibine göre, bir kütleye etkiyen kuvvetlerin toplamı sıfıra eşittir. Bu prensibi tek serbestlik dereceli bir sistemin hareketine uygulayalım. (şekil- 1)

Genel hareket denklemi;

$$\text{Atalet kuvveti}(m.\ddot{u}) + \text{Sönüüm kuvveti}(c.\dot{u}) + \text{Yay kuvveti}(k.u) - \text{Dinamik kuvvet } P(t) = 0 \quad \dots \dots \dots \quad (\text{I-1})$$

elde edilecektir.

II - TEK SERBESTLİK DERECELİ SÖNÜMSÜZ SİSTEMLER

Yapı dinamığında ve deprem mühendisliğinde, idealize edilmiş tek serbest dereceli bir sistem osilatör olarak tanınır. Bu formülasyonu ve çözümü basit olduğundan önce incelenmiştir. (şekil -3)

Sistemin sönumpsüzüğünden $c=0$ alınırsa, denklem

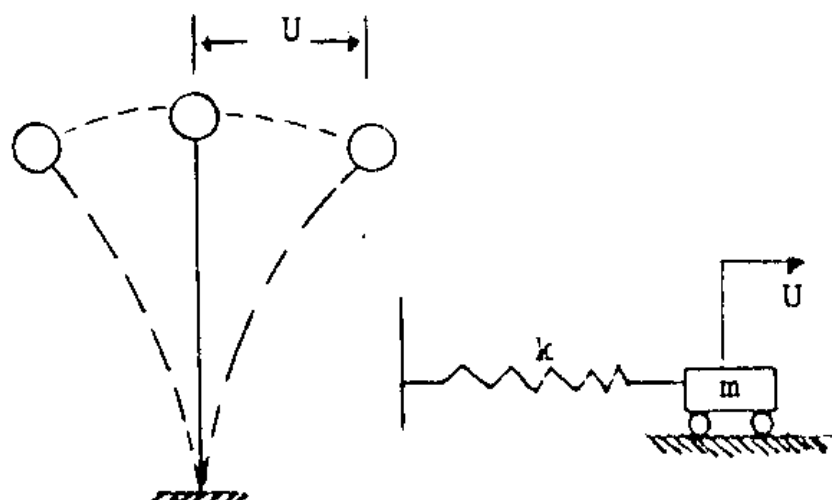
$$m.\ddot{u} + k.u = P(t) \quad \dots \dots \quad (\text{II-1}) \text{ olur.}$$

II - 1 SERBEST TİTREŞİM HALİ

$$P(t) = 0 ; \quad m.\ddot{u} + k.u = 0 \quad (\text{II-2}) \text{ olur.}$$

Bu denklem basit harmonik hareketin ifadesidir. (Şekil-3(c))
Doğal olarak titreşimin meydana gelebilmesi için sisteme
önceden bir zorlanma olması gereklidir. İvme ile deplasman
arasında bir orantı vardır.

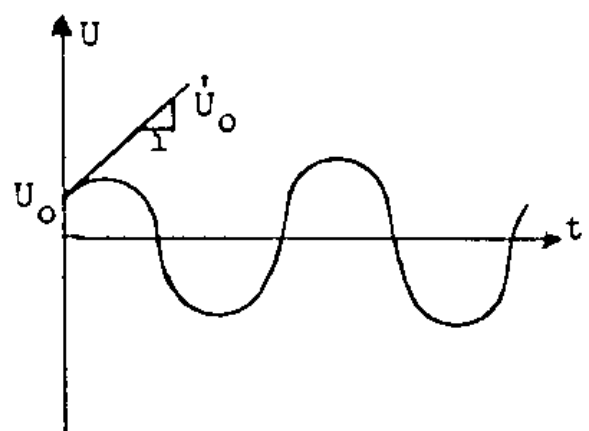
$\omega^2 = k/m$ yerine konularak, $\ddot{u} + \omega^2 \cdot u = 0$ (II-2a), Bu ifadenin
çözümü ; $U = C_1 \cdot \sin(\omega t) + C_2 \cdot \cos(\omega t)$ 'dir. Başlangıç şartları,
deplasman U_0 ve hızı \dot{U}_0 ise,
 $u = (\dot{U}_0/\omega) \cdot \sin(\omega t) + U_0 \cdot \cos(\omega t)$ (II-3)



a) Sönümsüz
osilatör

b) Mekanik
model

c) Harmonik
hareket



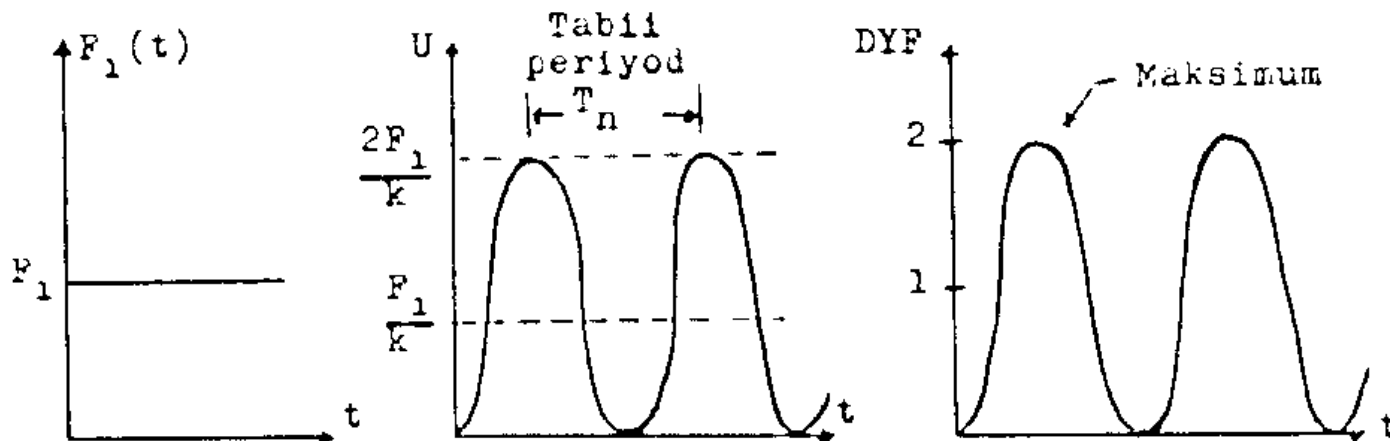
Denklem (II-3)'e analog çözüm olarak, $U = A \cos(\omega t + \theta)$ (II-3a)
 önerilebilir. A hareketin genliği olmak üzere; $A = \sqrt{C_1^2 + C_2^2}$
 ve $\theta = \tan^{-1}(C_2/C_1)$ faz açısını ifade eder. Hareketin tabii
 açısal hızı olan ω 'nın bir devrin tamamlanması için gerekli
 zaman olan periyod ile bağıntısı, $T = 2\pi/\omega = 2\pi\sqrt{m/k}$ (sn)
 ve tabii frekans, $f = 1/T = \omega/2\pi$ (devir/sn) (II-4,5)

II - 2 ZORLANMIŞ TİTREŞİMLER

Titreşime sebeb olan $F(t)$ kuvveti mevcuttur. Sönümsüz olduğundan $C=0$ dir. Hareketin diferansiel denklemi,
 $m \ddot{u} + k u = F(t)$ veya $\ddot{u} + \omega^2 u = F(t)/m$ (II-6) olur.

çözümü ise $F(t)$ fonksiyonlarına bağlıdır.

a) $P(t) = F_1$ sabit kuvveti (darbe kuvveti) ise,



a) Larte
kuvveti

b) Sistem
mukabelesi

c) DYF

ŞEKİL - 5 Darbe kuvvetine karşı TSD sistem mukabesi

Denklem (II-6)'nın çözümü;

$U = C_1 \sin(\omega)t + C_2 \cos(\omega)t + F_1/k$ şeklini alır. (II-7)

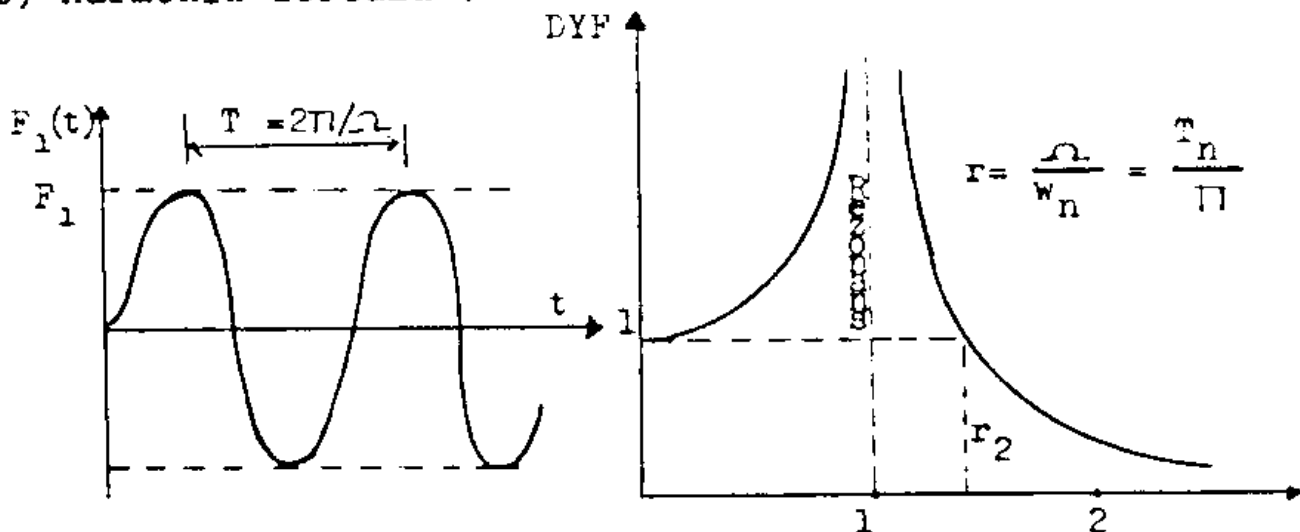
Burada ilk iki terim serbest titresimden son terim ise zorlama kuvvetine ait özel çözümden gelmektedir. Başlangıç şartlarında, $t=0$ anında, deplasman U_0 ve hız \dot{U}_0 ise, $C_2 = -F_1/k$ ve $C_1 = 0$ olarak çözüm: $U = (F_1/k) \cdot (1 - \cos \omega t)$ veya bir diğer anlatımla, $U = U_{\text{statik}} \cdot (1 - \cos 2\pi nt/T)$ (II-8) F_1 kuvvetine karşı oluşan mukabelenin (Şekil-5(b)) maksimum deplasman $2F_1/k$ olduğu görülmektedir. Dinamikte bir çok halde cisimlerin deplasmanları, statik deplasmana göre daha büyük olmaktadır. Bunları oranlayan ifadeye (DYF) dinamik yük faktörü denir.

$$\text{DYF} = U_{\text{dinamik}} / U_{\text{statik}} = 1 - \cos(\omega t), \quad (\text{II-9})$$

olarak F_1 sabit kuvveti için bulunmuştur, değişimleri

Şekil-5(c)'de gösterilmiştir. ($DYF_{max} = 2$)

b) Harmonik zorlama :



a) Dinamik Kuvvet

b) DYF ve resonans olayı

ŞEKİL - 6 Harmonik Dinamik kuvvet ve DYF

$F(t) = F_1 \cdot \sin \omega t$, harmonik kuvveti, Şekil-6'da görülen $T = 2\pi/\omega$ periyoduyla etkimektedir. Titreşim denklemi ;
 $m \ddot{u} + k u = F_1 \cdot \sin \omega t$ (II-10) olur. Başlangıç durumu
 $t = 0$ anı için $U_0 = 0$ ve $\dot{U}_0 = 0$ olan sisitem için çözüm;
 $U = (F_1/k) \cdot \left(\frac{1}{1 - (\omega^2/k)^2} \right) \cdot \left(\sin \omega t - \frac{\omega}{k} \sin \omega t \right)$ (II-11)
ve sinusoidal kuvvetin her periyodu $T_1 = 2\pi/k$ için titreşim tekrar eder.

$$DYF = \left(\frac{1}{1 - (\omega^2/k)^2} \right) \cdot \left(\sin \omega t - \frac{\omega}{k} \sin \omega t \right) \quad (II-12)$$

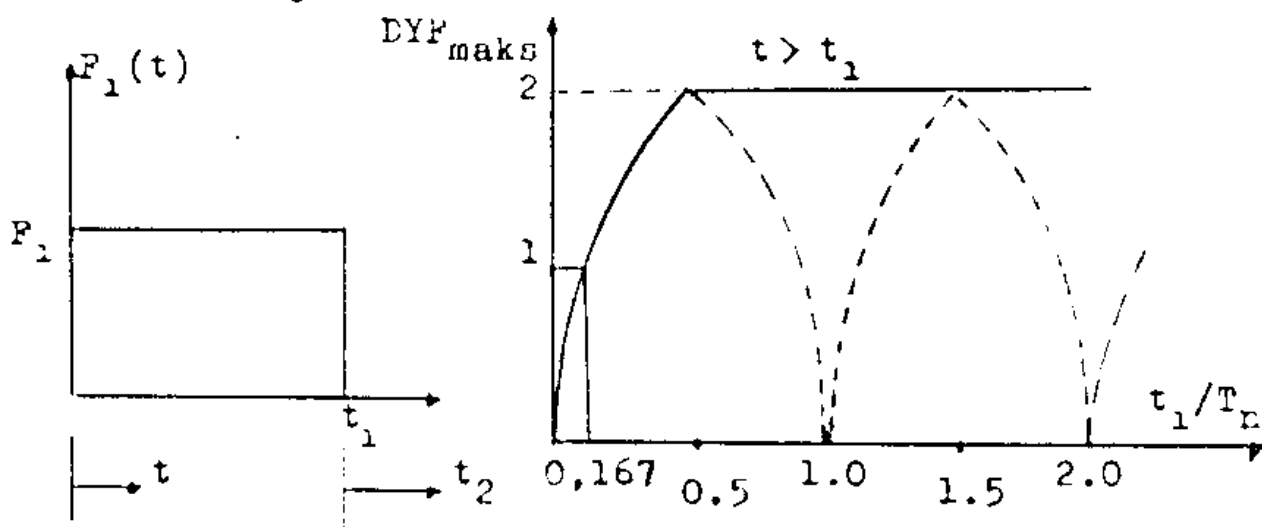
Mühendislikte DYF' nın zamanla değişmesinden çok onun maksimum değeri önemlidir. Bu değere (II-12)'nin türevi alınıp sıfıra eşitlenerek varılabilir. Bu önemli sonucu şöyle açıklayabiliriz, (Şekil-6(b)). Sistem periyodunun harmonik kuvvet periyoduna olan oranı çok büyük olduğu zaman sistemin mukabelesi küçülür. Bu oran küçük olduğu zaman dinamik mukabele statik mukabeleye yaklaşır. Sis-

teme etkiyen kuvvetin periyodu sistemin tabii periyoduna yaklaşıkça, sistemin deplasmanları asimtotik değerlere ulaşacaktır, ve REZONANS haline erişilecektir. Bu hacisenin önlenmesi isterir, aksi yapının çökmesidir.

c) Geçici (kısa süreli) dinamik kuvvetler ve Duhamel denklemi :

Duhamel denklemi, bilinen sistemin, zamana göre değişimi bilinen dinamik kuvvetlere karşı belirli süreler için mukabelesini verir

$$U = \frac{1}{m \cdot \omega} \int_0^{t_1} F(\tau) \cdot \sin \omega(t-\tau) d\tau \quad (\text{II-14})$$



a) Dikdörtgen yük

b) DYF_{\max} ($t > t_1$ için)

ŞEKİL - 7 Dikdörtgen darbe yükü ve $t > t_1$ için DYF_{\max}
Şekil-7'deki t_1 süreli dikdörtgen darbe kuvvetini inceleyelim. Titreşim durumu iki zaman aralığında incelenecakedir.

1) $t < t_1$ için ;

$$U = \frac{1}{m \cdot \omega^2} \int_0^{t_1} F_1 \cdot \sin \omega(t-\tau) d\tau = (F_1/m\omega^2) \cdot (1 - \cos \omega t) \quad (\text{II-15})$$

$$m\omega^2 = k \quad U = (F_1/k) \cdot (1 - \cos \omega t) \quad (\text{II-16})$$

tarife göre ise;

$DYF = (1 - \cos \omega t) = 1 - \cos 2\pi t/T$ bu sonuç daha önce edilmiş idi. (II-17)

2) $t > t_1$ için ;

$t = t_1$ olması durumundaki deplasman ve hız $t > t_1$ süresindeki titreşim başlangıç değerleridir. Bu süre içinde dinamik yük olmadığından, hareket serbest titreşim olarak devam eder.

$t = t_1$ için ;

$$U(t_1) = (F_1/k) \cdot (1 - \cos \omega t_1) \quad (\text{II-18})$$

$$\dot{U}(t_1) = (F_1/k) \cdot \omega \cdot \sin \omega t_1 \quad (\text{II-19})$$

ve $t > t_1$ den ötürü t_2 yi şöyle tarifliyebiliriz. $t_2 = t - t_1$

$$U = \frac{F_1}{k} \cdot \sin \omega t_1 \cdot \sin \omega t_2 + \frac{F_1}{k} \cdot (1 - \cos \omega t_1) \cdot \cos \omega t_2$$

düzenleyerek ;

$$U = \frac{F_1}{k} \cdot \left(2 \cdot \sin \omega \frac{t_1}{2} \cdot (\sin \omega \frac{t_2}{2} - \alpha) \right) \quad (\text{II-20})$$

$$DYF = 2 \cdot \sin(\omega t_1/2) \cdot (\sin \omega t_2 - \alpha) \quad (\text{II-21})$$

veya

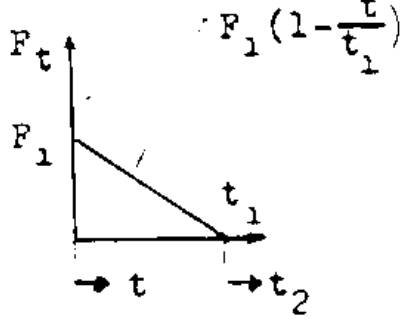
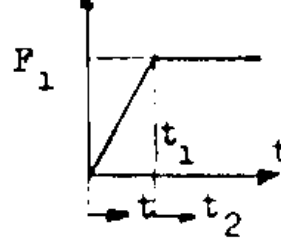
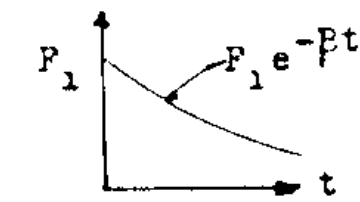
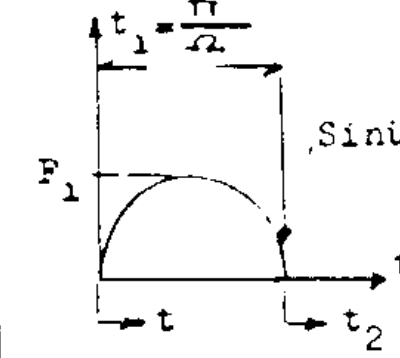
$$DYF = 2 \sin(\omega t_1/T) \cdot (\sin \omega t_2 - \alpha) \quad (\text{II-22})$$

$$\text{maksimum DYF} = 2 \sin \omega t_1/T \text{ dir.} \quad (\text{II-23})$$

Bu veriler ile $t_1/T = 1/6$ ise, $DYF_{\max} \leq 1$ olmaktadır. Bir diğer yorum ile darbe kuvveti süresinin sistemin doğal periyoduna göre oranı küçük ise, sistemin mukabelesi de statik mukabeleden büyük olmazmaktadır.

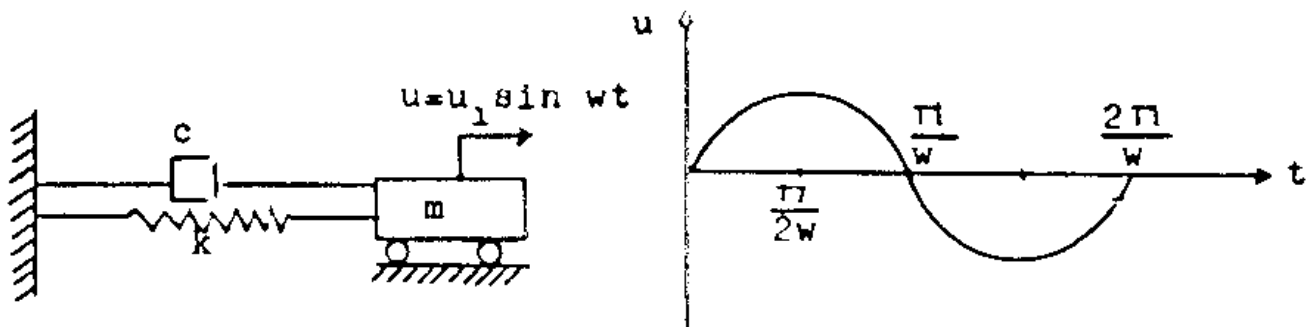
$t_1/T = (2n-1)/2$ ($n=1, 2, 3, 4, \dots$) diğerleri için maksimum mukabeleden elde edilen yük faktörü maksimum 2 olmaktadır. Dolayısıyla mühendislik hesapları için DYF 2 olarak alınır. (Şekil - 7(b))

Şekil 8'de diğer kısa süreli dinamik yükler için, Duhamel integral denklemi ile elde edilen deplasman fonksiyonları verilmiştir.

LİNAMİK KUVVET FONKSIYONU	SÜRE	$\frac{1}{m\omega_n} \int_0^{t_1} F(t) \sin \omega_n(t-\tau) dt$ FUHAMEL ENTEGRALİ
	$t < t_1$	$\frac{F_1}{m\omega_n^2} \cdot (1 - \cos \omega_n t - \frac{t}{t_1} + \frac{\sin \omega_n t}{\omega_n t_1})$
	$t > t_1$	$\frac{F_1}{m\omega_n^2} \cdot (-\cos \omega_n t - \frac{\sin \omega_n t^2}{\omega_n t_1} + \frac{\sin \omega_n t}{\omega_n t_1})$
	$t < t_1$	$\frac{F_1}{m\omega_n^2} \cdot (t - \frac{\sin \omega_n t}{\omega_n})$
	$t > t_1$	$\frac{F_1}{m\omega_n^2} \cdot (1 + \frac{\sin \omega_n t^2}{\omega_n t_1} - \frac{\sin \omega_n t}{\omega_n})$
	t	$\frac{F_1 \omega_n}{\omega_n^2 + b^2} \cdot (e^{-bt} - \cos \omega_n t + \frac{b \sin \omega_n t}{\omega_n})$
	$t < t_1$	$\frac{(F_1/K)\omega_n}{\omega_n^2 - \Omega^2} \cdot (\omega_n \sin \omega_n t - \Omega \sin \omega_n t)$
	$t > t_1$	$\frac{(F_1/K)\omega_n}{\omega_n^2 - \Omega^2} \cdot ((1 + \cos \omega_n t_1) \sin \omega_n t_2 + \sin \omega_n t_1 \cdot \cos \omega_n t_2)$

III. TEK SERBESTLİK DERECELİ SİSTEMLERİN SÖNÜMLÜ TİTREŞİMİ

III-1. SÖNDÜRÜCÜNÜN ENERJİ YUTMASI



ŞEKİL-9 Sönümlü mekanik model ve kütleye verilen deplasman

Söndürüm kuvveti genellikle kütle hızıyla orantılıdır. Şekil-9'daki tek serbestlik dereceli sistem kütlesiının sinusoidal hareketine göre, bir periyodu için yayın ve söndürücünün yaptığı işi hesaplayalım. Yay için :

$$\begin{aligned} \text{İş} &= W_{yay} = \int_0^T F \cdot du = \int_0^T k \cdot u \cdot du = \int_0^T k \cdot u_1^2 (\sin wt) w (\cos wt) dt \\ &= \frac{k \cdot u_1^2 \cdot w}{2} \cdot \int_0^{2\pi/w} \sin 2wt \cdot dt = 0 \end{aligned}$$

Söndürücü için :

$$\begin{aligned} \text{İş} &= W_{söndürücü} = \int_0^T F \cdot du = \int_0^T c(du/dt) \cdot du = \int_0^T c \cdot (du/dt) \cdot (du/dt) dt \\ &= \int_0^{2\pi/w} c \cdot u_1^2 \cdot w^2 \cdot \cos^2 wt \cdot dt = \frac{2\pi^2 c u_1^2}{T} \neq 0 \end{aligned}$$

görüldüğü gibi söndürücü sisteme verilen enerjinin bir kısmı yutulmaktadır.

III-2 SERBEST SÖNÜMLÜ TİTREŞİM

$$m \cdot \ddot{u} + c \cdot \dot{u} + k \cdot u = 0 \quad (\text{III-1})$$

diferansiel denkleminin karakteristik denklemini bulmak

için $u = e^{st}$ önerilirse, karakteristik denklemimiz ;

$$s^2 \cdot m + s \cdot c + k = 0 \quad (\text{III-2}) \quad \text{ve kökleri,}$$

$$s_{1,2} = \frac{-c}{2 \cdot m} \pm \left(\left(\frac{c}{2 \cdot m} \right)^2 - \frac{k}{m} \right)^{1/2} \quad (\text{III-3})$$

s_1 ve s_2 kökleri için sistem diferansiyel denkleminin genel çözümü ;

$$u = A \cdot e^{s_1 t} + B \cdot e^{s_2 t} \quad (\text{III-4})$$

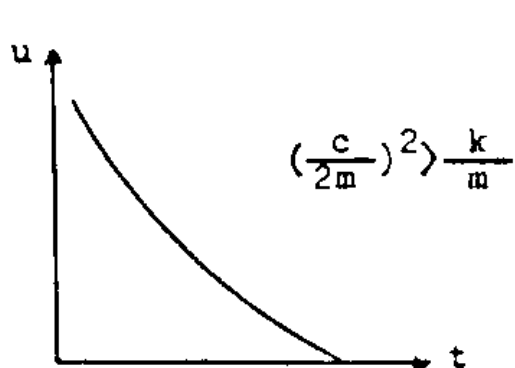
A ve B başlangıç durumlarından elde edilecek sabitlerdir.

Karakteristik denklemin kökleri, sistemin elemanlarına göre değişiklik arzedebilirki bunlar ;

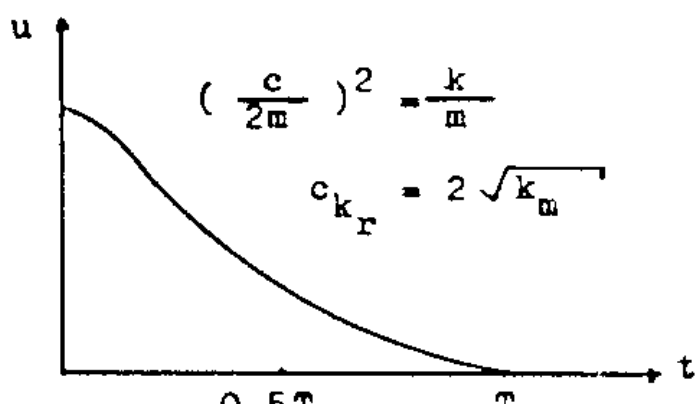
a) $(c/2m)^2 > k/m$; sönülü büyük hareket

iki kök pozitif ve reeldir.

$u = A \cdot e^{-\frac{1}{2} st_1} + B \cdot e^{-\frac{1}{2} st_2}$ olur. (III-5) Titreşim meydana gelmez, hareket sönümün şiddetine göre belirli bir zamanda sona erer. (Şekil-10(a)).



a) Büyük sönülü



b) Kritik sönülü

ŞEKİL - 10 Büyük ve Kritik sönülü hareket

b) $(c/2m)^2 = k/m$ burdan $s_1 = s_2 = s$ denirse,

$u = A \cdot e^{-st} + B \cdot t \cdot e^{-st}$ (III-6) olur. Titreşim oluşmaz

hareket söner. (Şekil-10(b)). Kritik sönülü hareketi oluş-

turan sönüm sabiti, $c_{kr} = 2 \cdot (k/m)^{1/2}$ dir. (III-7). Buradan sistemin gerçek sönüm sabiti, kritik sönüm sabitinden küçük ise titreşim meydana gelmeyecekdir. $c < c_{kr}$, kritik sönüm sabiti yüzdesi $h = c/c_{kr}$ olarak ifade edilebilir. (-8)

c) $(c/2m)^2 < k/m$; s_1 ve s_2 kompleks kökler olacaktır.

$a = c/2m$; $b = ((k/m) - a^2)^{1/2}$ olarak

$$s_1 = -a + ib, \quad s_2 = -a - ib$$

$$u = A \cdot e^{(-a+ib)t} + B \cdot e^{(-a-ib)t} \quad \text{ve düzenleyerek}$$

$$u = u^{-at} \cdot (A \cdot e^{ibt} + B \cdot e^{-ibt})$$

$e^{ibt} = \cos(bt) + i \sin(bt)$ eşitliğiyle oluşturulan düzlemlerden,

$$u = e^{-wht} \cdot (U_o \cdot \cos(w_s t) + \frac{U_o + whU_o}{w_s} \cdot \sin(w_s t)) \quad (\text{III-9})$$

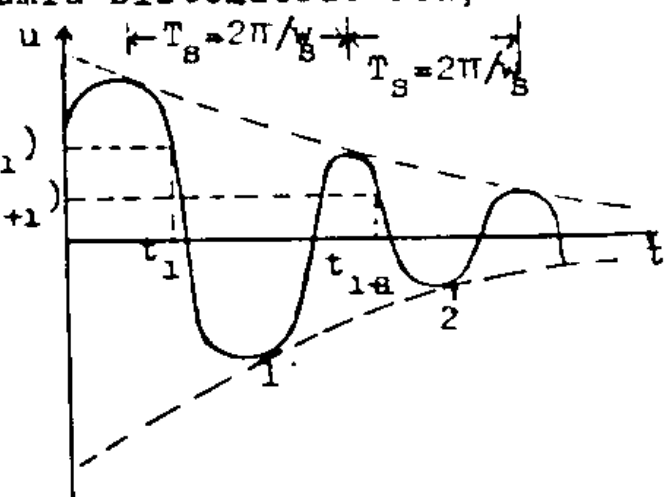
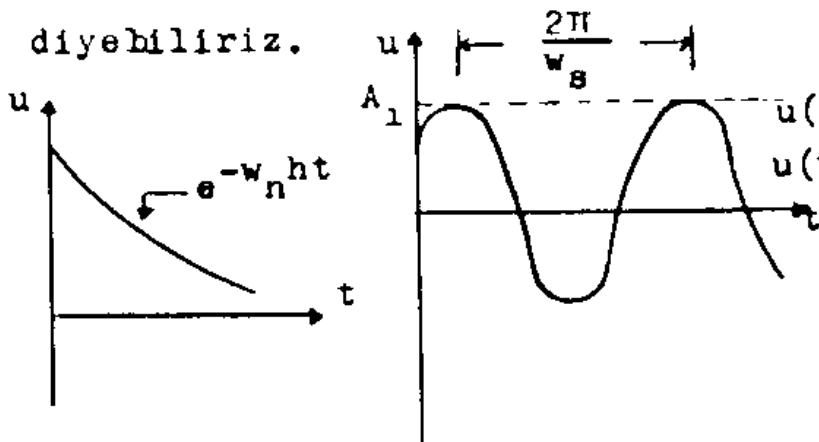
denklem eğer maksimum genlik ve faz açısıyla ifade edil-

$$r ilirse, u = e^{-wht} \cdot (A_1 \cdot \cos(w_g t - \theta)) \quad (\text{III-10})$$

$$A_1 = (c^2 - d^2)^{1/2} \quad \text{ve} \quad \theta = \operatorname{tg}^{-1}(d/c)$$

$C = U_o$, $D = (\dot{U}_o + whU_o)/w_s$ ifadeleri ile bulunabilir.

(Şekil-11). O halde titreşim az sönümlü sistemlerde oluşur diyebiliriz.



$$(a) U = e^{-wht} \quad (b) U = A_1 \cos(w_s t - \theta) \quad (c) U = A_1 e^{-wht} \cdot \cos(w_s t - \theta)$$

SEKİL -11 Sönümlü serbest titresim

Yukarıda verilenleri sonum yüzdesi ilede sırasıyla $h > 1$,

$h = 1$, $h < 1$ ilede açıklayabiliriz. Yapılarda genellikle sonum yüzdesi %2'den azdır. Küçük sonum yüzdeleri için yapının sonumlu açısal hızı yaklaşık olarak yapının tabii açısal hızının aynıdır. $w_s \approx w$ alınabilir.

Betonarme yapılarda $h=1,5 - 2,0$

Çelik yapılarda ise $h=0,5$ olarak alınabilir.

III - 3 ZORLANMIŞ SÖNÜMLÜ TİTREŞİM

Tek serbestlik dereceli idealize edilmiş bir yapının titresimi en genel diferansiyel denklemi olarak, $m \cdot \ddot{u} + c \cdot \dot{u} + k \cdot u = F(t)$ tariflemiştir. Bu diferansiyel denklemi çözümü, $u = e^{-at}(U_0 \cos(w_s t) + \frac{U_0 + aU_0}{w_s} \cdot \sin(w_s t)) + U_{\text{statik}} \cdot (\omega^2 / 2w_s)$. $\int_0^t f(t) \cdot e^{-(t-\tau)} \cdot \sin w_s(t-\tau) d\tau$ (III-12)

$$f(t) = F(t)/F_1$$

Dinamik kuvvetin belirli bir süre için maksimum değerine (F_1) bölünmesiyle elde edilir.

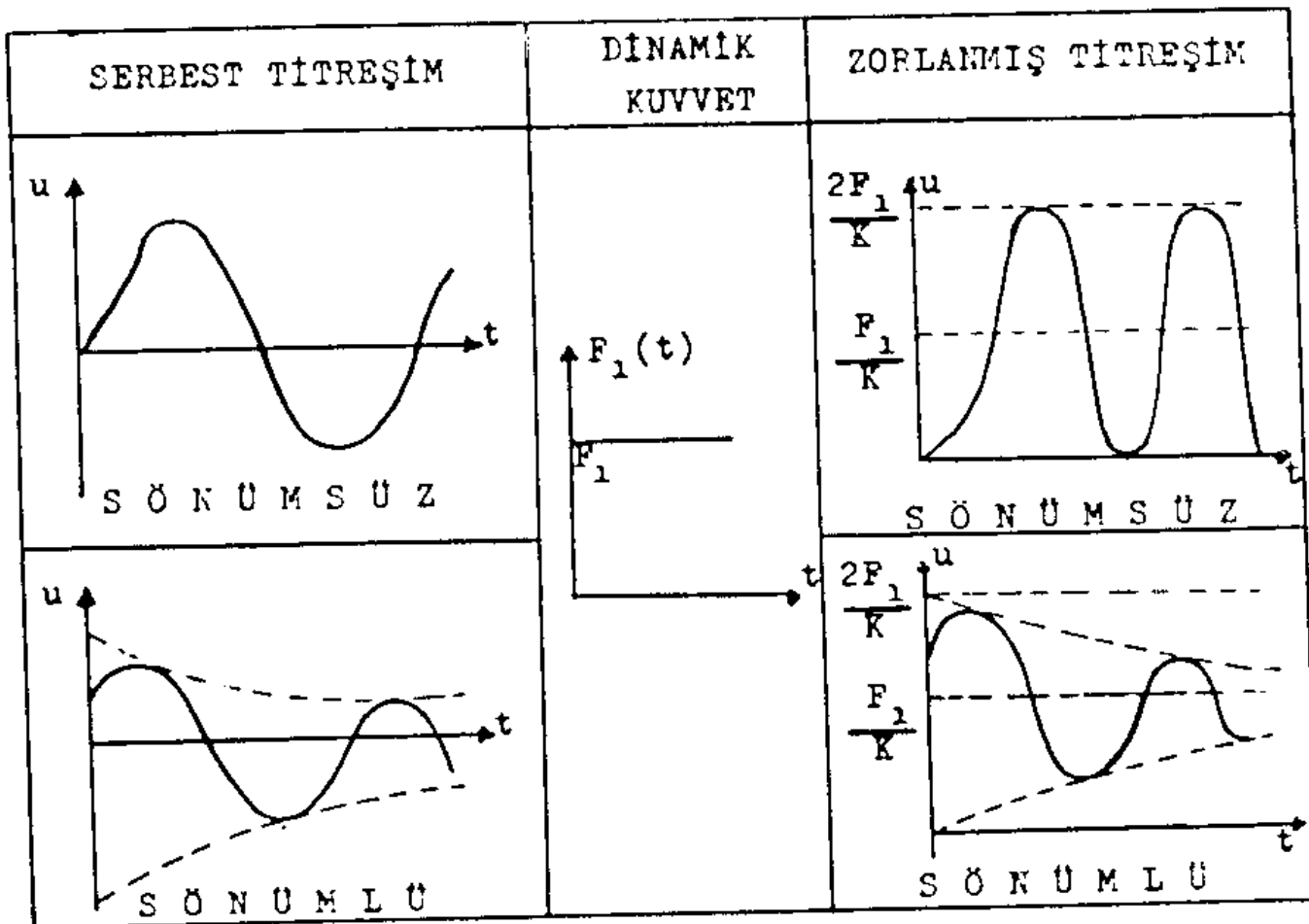
III - 3.1 DARBE KUVVETİ $F(t) = F_1$

$f(t) = 1$ ve başlangıç durumları için, $t = 0$ anında, $u_0 = 0$, $\dot{u}_0 = 0$, $U_{\text{statik}} = F_1/k$ dan $w_s = w$ kabül ederek, $U = (F_1/k) \cdot w \cdot \int_0^t e^{-a(t-\tau)} \sin w(t-\tau) d\tau$ (III-13)

integrasyon tablolarından,

$$U = (F_1/k) \cdot (1 - e^{-at}) \cdot (\cos wt - h \cdot \sin wt) \quad (\text{III-14})$$

elde edilir. Şekil 12 den de görüleceği gibi zorlanmış sistemlerde sönünsüz sistemlerdeki gibi deplasman ekseini F_1/k kadar ötelenmiştir.



ŞEKİL - 12 Darbe kuvveti ile serbest titreşiminkin mukayesesi

III - 3.2 HARMONİK KUVVET $F(t) = F_1 \cdot \cos \Omega t$

Tek serbestlik dereceli sisteme etkiyen bu kuvvet altında hareketin diferansiyel denklemi :

$$m \cdot \ddot{u} + c \cdot \dot{u} + k \cdot u = F_1 \cdot \cos \Omega t \quad (\text{III-15})$$

$$c/2m = \omega_h = a$$

$$\ddot{u} + 2 \cdot a \cdot \dot{u} + \omega^2 \cdot u = (F_1/m) \cdot \cos \Omega t = (U_{\text{statik}}) \cdot \omega^2 \cdot \cos \Omega t$$

ve buradan çözüm olarak,

$$u = e^{-at} (A \cos \omega_g t + B \sin \omega_g t) + A_1 \cos \Omega t + B_1 \sin \Omega t \quad (\text{III-16})$$

bulunur. Denklemin zorlanmış titreşime yani özel çözüme ait terimlerinin sistemin diferansiyel denklemini karşılaması gereklidir.

$$U_z = A_1 \cdot \cos \Omega t + B_1 \cdot \sin \Omega t \quad (\text{III-17}), \quad r = 2/\omega$$

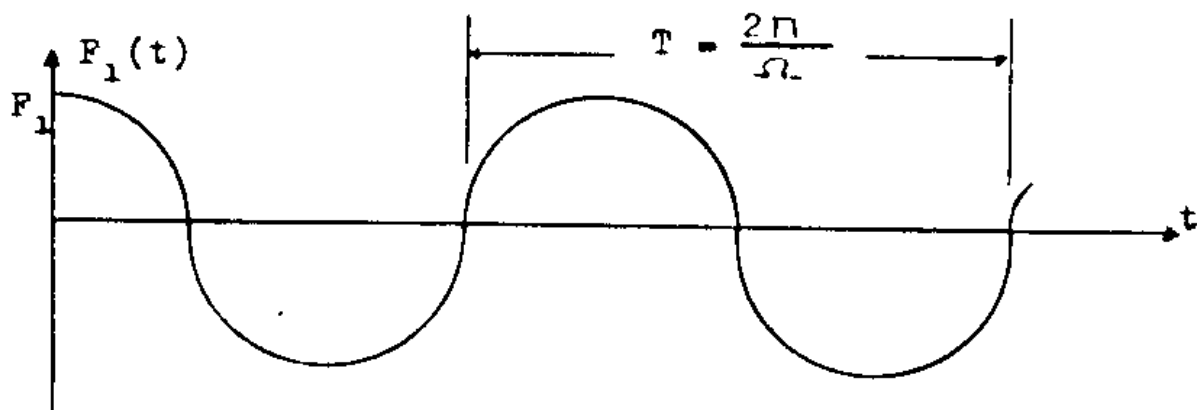
$$A_1 = \frac{F_1}{k} \cdot \frac{1-r^2}{(1-r^2)^2 + 4h^2 r^2}, \quad B_1 = \frac{F_1}{k} \cdot \frac{2hr}{(1-r^2)^2 + 4h^2 r^2}$$

$$\text{maksimum genlik } A_2 = (A_1^2 + B_1^2)^{1/2}$$

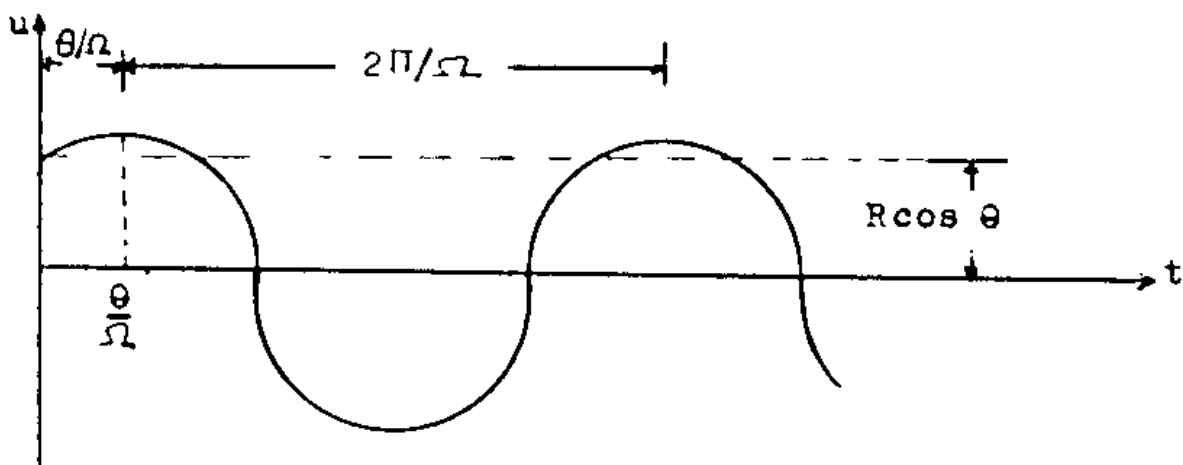
$$A_2 = \frac{F_1}{k} \cdot \frac{1}{((1-r^2)^2 + 4h^2 r^2)^{1/2}} \text{ ve mukabele faz açısı}$$

$$\theta_2 = \tan^{-1}(B_1/A_1) \text{ özel (zorlama) çözüm ise :}$$

$$U_z = A_2 \cos(\Omega t - \theta) \quad (\text{III - 18}) \quad \text{olur.}$$



(a) Sisteme etkiyen harmonik kuvvet



(b) Zorlanmış titresim

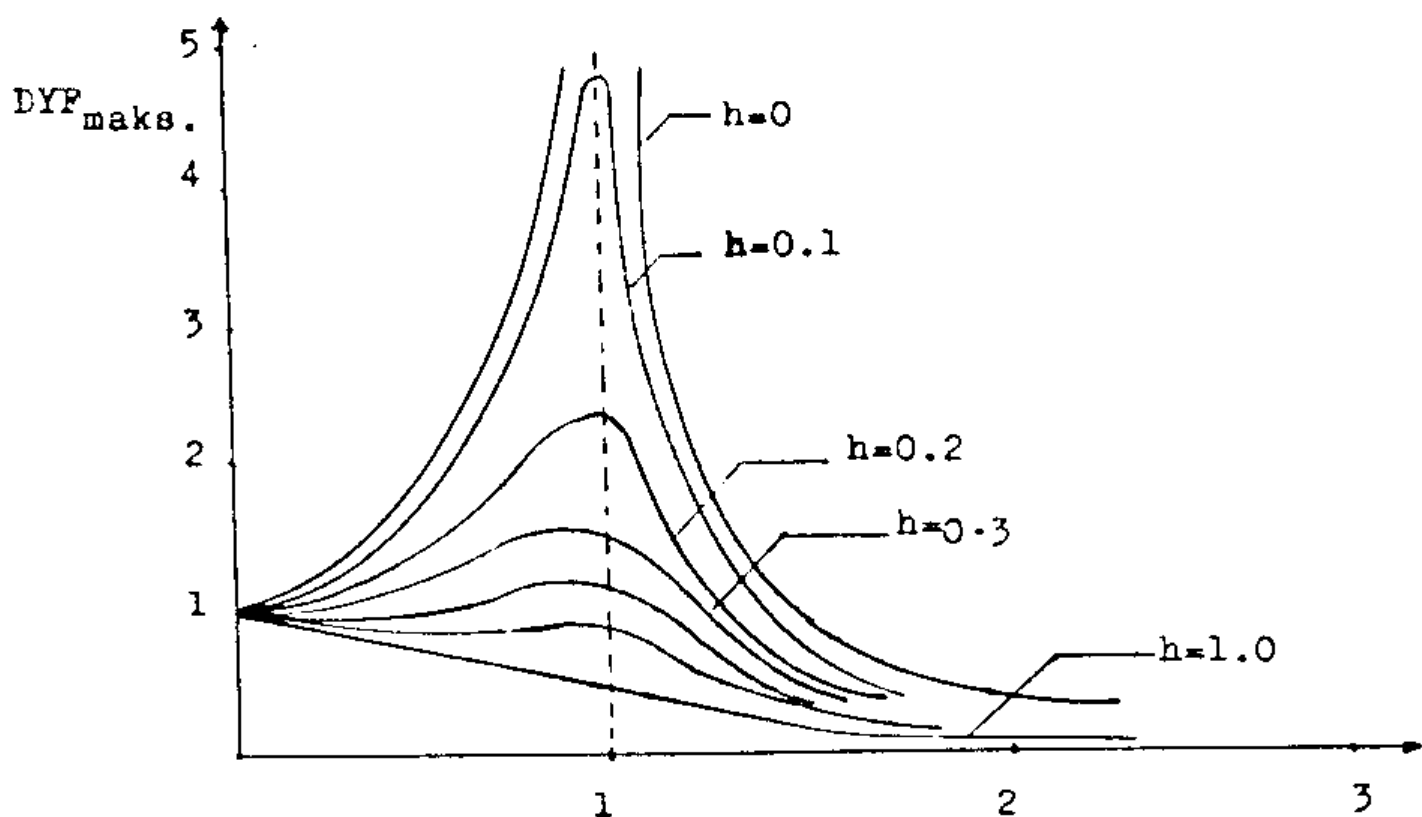
ŞEKİL-13 Harmonik kuvvet, mukabele ve faz açısı θ

Homojen çözüm (komplementer) çözümün A ve B sabitleri ise, başlangıç durumlarına göre tesbit edilecektir. Sönme fonksiyonu e^{-at} ile mevcut olan homojen çözümün

toplam deplasmanı artırıcı etkisi azdır, bir kaç devir sonra tesirsiz kalır. Bu sebeple bu hale geçici titreşim denir. (Şekil-13) Bu sebeple, sistemin mukabelesi zorlanmış titreşim olarak alınırsa,

$$U = U_z = U_{\text{statik}} \frac{1}{((1-r^2)^2 + 4h^2 r^2)^{1/2}} \cdot \cos(\Omega t - \theta) \quad (\text{III}-19)$$

olur. Tabi, amacımız dinamik mukabelenin statik mukabeleye oranının yanı DYF'nin bulunması idi. Harmonik kuvvetle zorlanmış titreşim için ; DYF'leri,



$$r = \Omega_n / \omega = T_n / T$$

ŞEKİL -14 Harmonik frekans oranlarına karşı DYF_{max}

$$DYF = \frac{1}{((1-r^2)^2 + 4h^2 r^2)^{1/2}} \cdot \cos(\omega t - \theta) \quad (\text{III-20})$$

$$DYF_{\max} = \frac{1}{((1-r^2)^2 + 4h^2 r^2)^{1/2}} \quad (\text{III-21})$$

Denklem (III-21) da açısal hız oranı (r) ve sönüüm yüzdesi (h) parametresi için bir grafiklendirmeye gidilirse (Şekil-14) rezonans nadisesi burada da görülecektir. Açısal frekanslar birbirlerine yakın ise ($r=1$), küçük sönüüm değerleri için ($h=0, l \rightarrow 0$) DYF_{\max} büyük olacak ve istenmeyen deplasmanlar oluşacaktır. Çok büyük sönüüm yüzdeşleri için titreşim problemi yoktur. $h = 0$ gerçek bir durum olmayıp, bütün yapılar için sönüüm değeri mevcut olduğundan, sonlu maksimum DYF değerleri elde edilir.

IV - TEK SERBESTLİK DERECELİ TİTREŞEN SİSTEMLERDE
DİFERANSIEL EŞİTLİĞİN SAYISAL ÇÖZÜMÜ :

IV - 1. DOĞRUSAL İVME METODU

Tek serbest dereceli titreşen sistemin hareket denklemi; $m \ddot{u} + c \dot{u} + k u = f(t)$ (1) dir.

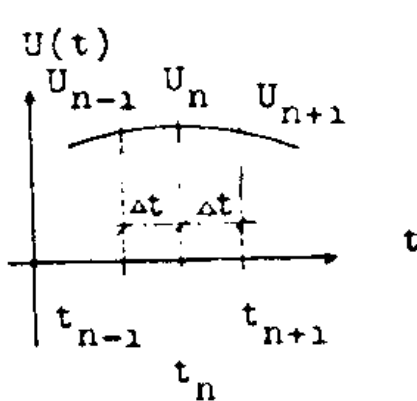
$$\ddot{u} + (c/m) \dot{u} + (k/m) u = f(t)/m \quad (2) \text{ veya}$$

$$\ddot{u} + 2 \cdot \xi \cdot w \cdot \dot{u} + w^2 u = a(t) \quad (3), \text{burada, } \xi \text{ sönümlü yüzdesi değeri, } w \text{ sistemin açısal frekansı, } a(t) \text{ uygulanan ivme fonksiyonudur. Tatbik edilen yükleme bir deprem yükü olduğunda, } a(t), \text{çok kompleks bir fonksiyon olacağı sebebiyle, (1) numaralı denklem için nümerik integral yine, büyük yakınsaklıktır bir çözüm elde edilememektedir.}$$

Δt zaman aralıklarında lineer olarak değişen ivme kabiliyle, tek serbestlik dereceli bir sistem için hareketin denklemi adım adım, lineer (doğrusal) ivme metoduyla integre edilebilir.

$U(t)$ hareket (deplasman) fonksiyonunun düzenlenmiş Taylor serisi,

$$U(t_{n+1}) = \sum_{k=0}^{\infty} U^k \cdot t_n \cdot \frac{(t_{n+1} - t_n)^k}{k!} \quad (4)$$



$\Delta t = t_{n+1} - t_n$ ve (4) eşitliğinden geliştirerek;

$$U_{n+1} = U_n + U_n \Delta t + U_n \frac{\Delta t^2}{2} + U_n \frac{\Delta t^3}{6}$$

(5) beş numaralı eşitliğin zamana göre iki kere diferansiyelini alarak,

$$\dot{U}_{n+1} = \dot{U}_n + \ddot{U}_n \Delta t + \dddot{U}_n \frac{\Delta t^2}{2} \quad (6)$$

$$\ddot{U}_{n+1} = \ddot{U}_n + \ddot{U}_n \Delta t \quad (7)$$

(7) numaralı eşitlikten \ddot{U}_n değerini (5) ve (6) denklemle-rine uygulayarak aşağıdaki denklemleri elde ederiz.

$$\dot{U}_{n+1} = \dot{U}_n + 1/2 (\dot{U}_{n+1} + \ddot{U}_n) \Delta t \quad (8)$$

$$U_{n+1} = U_n + \dot{U}_n \Delta t + (2 \ddot{U}_n + \ddot{U}_{n+1}) \Delta t^2 / 6 \quad (9)$$

(8) ve (9) numaralı eşitlikler (3)'e uygulanıp, düzenle-nerek aşağıdaki birbiriyle ilişkili değerler elde edilir.

$$\ddot{U}_{n+1} = (a(t) - 2 \zeta w A_n + w^2 B_n) / e$$

$$\dot{U}_{n+1} = A_n + \ddot{U}_{n+1} \Delta t / 2 ; \quad U_{n+1} = B_n + \ddot{U}_{n+1} \Delta t^2 / 2 \quad (10)$$

$$e = 1 + 2 \zeta w \Delta t / 2 + w^2 \Delta t^2 / 6$$

$$A_n = \dot{U}_n + \ddot{U}_n \Delta t / 2 ; \quad B_n = U_n + \dot{U}_n \Delta t + \ddot{U}_n \Delta t^2 / 3 \quad (11)$$

Herhangi bir t_n anında, sistemin karakteristiklerini ve ivme, hız ve deplasman değerlerini bilmek suretiyle, t_{n+1} zamanında hız, ivme ve deplasman değerleri (9),(10) denk-lemleri kullanılarak hesaplanabilir. ve yine başlangıç şartları dediğimiz \dot{U}_0 ve U_0 bilindiği zaman, sistemin başlangıç ivmesi (12) denklemiyle hesaplanatılır.

$$\ddot{U}_0 = a(t_0) - 2 \zeta w \dot{U}_0 - w^2 U_0$$

$$\ddot{U}_{n+1} = 1/m (f(t) - R - D) = 1/m (f_{n+1} - D_{U_{n+1}} - R_{U_{n+1}})$$

$$\ddot{U}_{n+1} = 1/m (f(t_{n+1}) - c \cdot \dot{U}_{n+1} - k \cdot U_{n+1}) \quad (12)$$

Çözünde doğruluğun sağlanması için zaman adımı, Δt yeteri kadar küçük alınmalıdır. Fakat diğer bir yonden

çözüm için t zaman aralığı ihtiyaç duyulandan çok küçük olmamalıdır. Aksi durumda çok uzun süre ve istenen hassaslıktan çok yüksek değerde olacaktır. Yine çok küçük Δt zaman aralığında düşük hassaslıktaki hesaplayıcılarda hataya sebep olabilir.

IV - II DENGEMİN EŞİTLİĞİ VE ADIM ADIM İNTEGRAL ALMA :

Rastgele bir yükleme yapılan (Şekil IV-2a) genel olarak bir lineer olmayan tek serbestlik dereceli sistemin yay ve sönüm kuvvetleri; ve davranışları gösterilmiştir.

(Şekil IV-2b, 2c) Herhangi bir t zaman anında m kütlesi üzerine etkiyen kuvvetlerin toplamı;

$$f_1(t) + f_D(t) + f_S(t) = P(t) \quad (1a)$$

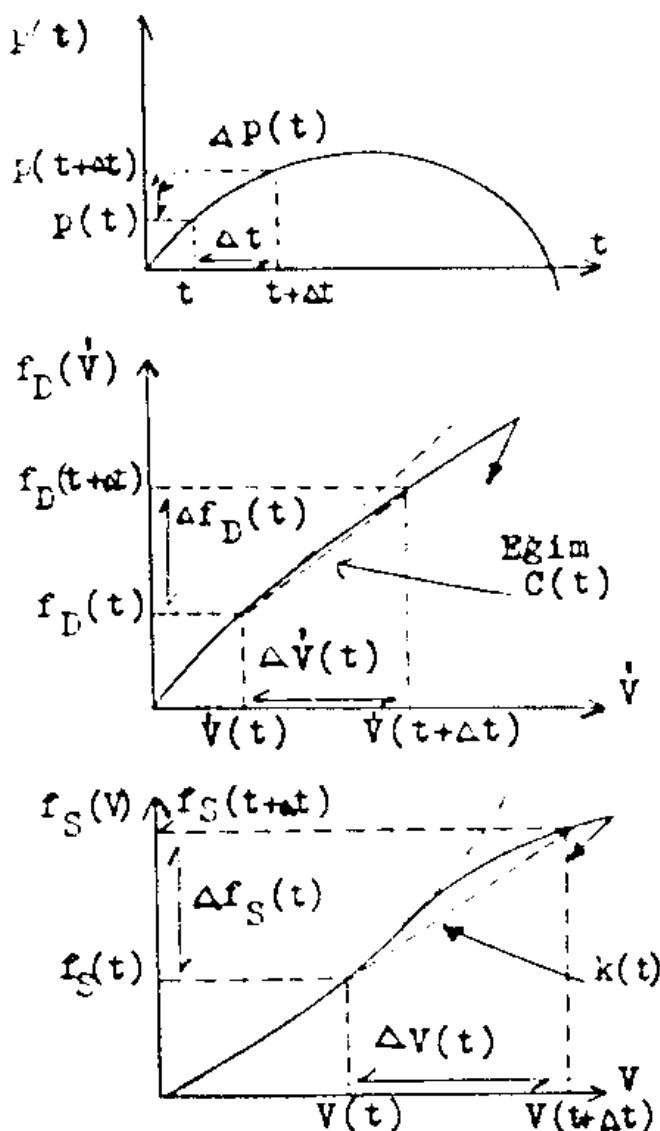
bir Δt süresi sonra ise ;

$$f_1(t + \Delta t) + f_D(t + \Delta t) +$$

$f_S(t + \Delta t) = P(t + \Delta t) \quad (1b)$
olacaktır. (1a), (1b) den çıkarılmak suretiyle, Δt zaman aralığında, hareket denkleminin artan formunda, akma denklemi

$$\Delta f_1(t) + \Delta f_D(t) + \Delta f_S(t) = \Delta P(t) \quad (2)$$

artımlı kuvvetler bu eşitlikde şöyle ifade edilebilir.



ŞEKİL - IV - 2a,b,c

$$\begin{aligned}\Delta f_1(t) &= f_1(t + \Delta t) - f_1(t) = m \cdot \Delta \ddot{U}(t) \\ \Delta f_D(t) &= f_D(t + \Delta t) - f_D(t) = c(t) \cdot \Delta \dot{U}(t) \\ \Delta f_S(t) &= f_S(t + \Delta t) - f_S(t) = k(t) \cdot \Delta U(t) \\ \Delta P(t) &= P(t + \Delta t) - P(t)\end{aligned}\tag{3}$$

Şekil-IV - 2b,c de irdelendiği gibi zaman aralığındaki deplasman ve hızda göre $c(t)$ ve $k(t)$ söndürüm ve rijitlik değerlerini ifade eden terimler ve kütlenin sabit olduğu farzedilmektedir. Pratikte gösterilen secant eğimi sadece iterasyon ile elde edilebilir. Çünkü Δt zaman dilimi sonundaki hız ve deplasman bu değerlere bağlıdır.

Bu sebepten Δt zaman aralığının başında tariflenmiş olan tanjant eğimleri aagçidakı ifadelerin yerine kullanılabilir.

$$c(t) = \left(\frac{df_d}{dU} \right)_t \quad k(t) = \left(\frac{df_S}{dU} \right)_t \tag{4}$$

t zamanı için Δt artımına karşı gelen dengə denkleminin son hali (2) ve (3) deki denklemlerin sonucu ;

$$m \cdot \Delta \ddot{U}(t) + c(t) \cdot \Delta \dot{U}(t) + k(t) \cdot \Delta U(t) = \Delta P(t) \tag{5}$$

Bu işlemdeki temel kabulümüz t zaman aralığında sistemin tüm değerlerinin sabit olduğu ve her t zaman aralığında ivmenin lineer değiştiğidir. Şekil - IV-3'de t zamanı için kütlenin hareketi, hızı ve ivmesi sırasıyla gösterilmiştir.

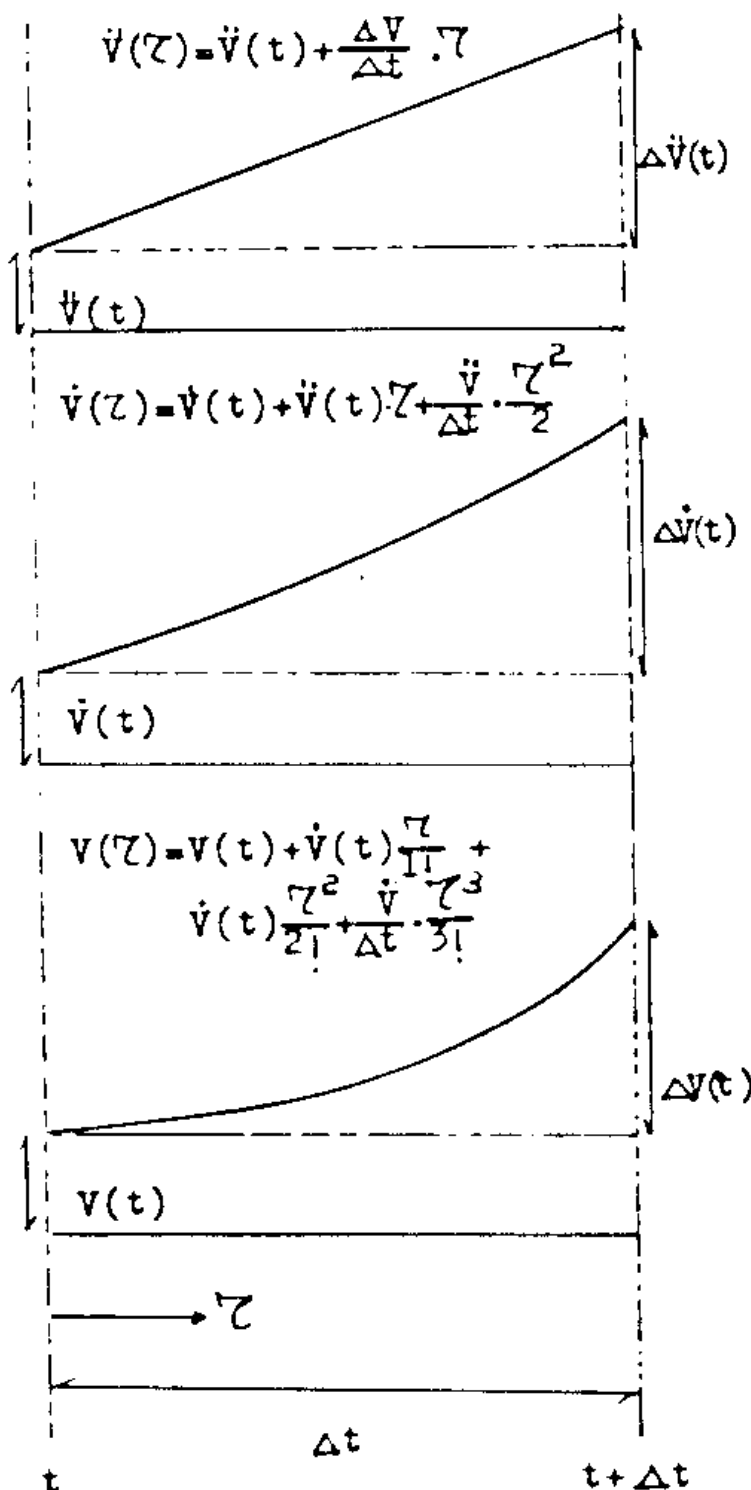
$$\Delta \dot{U}(t) = \ddot{U}(t) \cdot \Delta t + \Delta \ddot{U}(t) \cdot \Delta t / 2 \tag{6-A}$$

$$\Delta U(t) = \dot{U}(t) \cdot \Delta t + \ddot{U}(t) \cdot \Delta t^2 / 2 + \Delta \dot{U}(t) \cdot \Delta t^2 / 6 \tag{6-B}$$

(6-A), (6-B) ye uygulanırsa burdan Δt ye karşı gelen ivme artımı ve hız artımı;

$$\Delta \ddot{U}(t) = 6/\Delta t^2 \cdot \Delta U(t) - 6\dot{U}(t)/\Delta t - 3\ddot{U}(t) \quad (7-A)$$

$$\Delta \dot{U}(t) = 3/\Delta t \cdot \Delta U(t) - 3\dot{U}(t) - \Delta t/2 \cdot \ddot{U}(t) \quad (7-B)$$



ŞEKİL - IV-3 Doğrusal ivmede Δt anında sistemin durumu.

(7)ler (5)'e uygulanarak bu incelemede temel değer olarak alınan deplasman artımı cinsinden;

$$M(\frac{6}{\Delta t^2} \Delta U(t) - \frac{6}{\Delta t} \dot{U}(t) - 3\ddot{U}(t)) + C(t)(\frac{3}{\Delta t} \Delta U(t) - 3\dot{U}(t) - \frac{t}{\Delta t^2} \ddot{U}(t)) + k(t) \cdot \Delta U(t) = \Delta P(t) \quad (8)$$

bulunur. Son olarak başlangıç şartları bilinen terimler ile yeniden düzenlenleyip ifadeleri sağ tarafa geçirirsek;

$$\tilde{k}(t) \cdot \Delta U(t) = \Delta \tilde{P}(t) \quad (9-a)$$

$$\tilde{k}(t) = k(t) + 6/\Delta t^2 \cdot m + 3/\Delta t \cdot C(t) \quad (9-b)$$

$$\Delta \tilde{P}(t) = \Delta P(t) + m(\frac{6}{\Delta t} \dot{U}(t) + 3\ddot{U}(t)) +$$

$$C(t)(3\dot{U}(t) + \frac{\Delta t^2}{2} \ddot{U}(t)) \quad (9-c)$$

bulunur. (9-a) eşitliğinin statik eşitliğe denk düşüğü gözlenebilir.

Bu nümerik analiz işlemi iki kabulu içeriksek şekildedir.

- 1) İvme lineer olarak değişmektedir.
- 2) Söñüm ve rijitlik değerleri zaman dilimlerinde sabit kalmaktadır.

Genel olarak bu iki kabulde gerçekte doğru değildir. Fakat Δt zaman aralıkları küçük değerlerde seçilirse, hasta yüzdesi çok azalacaktır. Uygulanan problemde C söndürüm katsayısı sabit kabul edilmiştir. Bundan dolayı akıma bölgesinde k rijitliğinde farklılık gösterip lineer olmayan değerler verilecektir.

Çerçevenin elastik veya akıma durumuna göre $k(t)$ 'nin k veya sıfır olduğu yerde hakiki rijitliği (9-b) ile ve yine gerçek yük artımı (9-c) ile hız farkı ise (7-b) ile bulunabilir. Bu çalışmada bir el hesabı için çok uygun olan bir tabloda hesaplar sunulmuştur.

Adım adım İntegral işleminin tatbik sırasını altı şıkta açıklayabiliriz.

Verilen herhangi bir t zamanı için, Analiz :

- 1) Başlangıç anında ($\dot{U}(t)$ ve $U(t)$) hız ve deplasman değerleri mevcuttur. Bu değerler ilk artımın sonundan veya problemin başlangıç şartları olarak mevcut olabilir.
- 2) Bu değerler ile yapının lineer olmayan yapıya ait özel sabit değerleri, söndürüm katsayısı $C(t)$, ve rijitlik $k(t)$ değeri zaman aralıkları için bulunur. Keza söndürme kuvveti f_D , ve elastik kuvvet f_S de bulunur.
- 3) $\ddot{U}(t) = 1/m (P(t) - f_D(t) - f_S(t))$ formülüyle başlangıç ivmesi hesaplanır. Bu sadece t zamanı için denge

denkleminin (diferansiel denklemin) bir düzenlemesidir.

4) $\tilde{\Delta P}(t)$, $\tilde{k}(t)$ (9-b) , (9-c) kullanılarak hesaplanır.

5) Deplasman farkı $\Delta U(t) = \tilde{\Delta P}(t) / \tilde{k}(t)$ bulunur.

sonra $\Delta \dot{U}(t) = 3 / \Delta t \cdot \Delta U(t) - 3 \dot{U}(t) - \Delta t/2 \ddot{U}(t)$ ile hız hesaplanır.

6) Zaman aralıklarının sonunda hız ve deplasman aşağıdaki şekilde elde edilir.

$$\dot{U}(t + \Delta t) = \dot{U}(t) + \Delta \dot{U}(t)$$

$$U(t + \Delta t) = U(t) + \Delta U(t)$$

V - ÇOK SERBEST DERECELİ SİSTEMLER

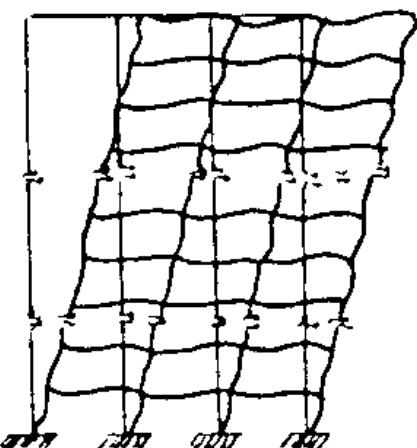
V -1-SİSTEMLERİN İDEALİZE EDİLMESİ

Mühendislik yapılarının çoğu çok serbest dereceli olup bunların serbestlik derecesi hesabı yapana göre farklılık gösterebilir. Basitleştirme ile gerçek çözüm arasında ki bu fark mühendislik hesaplarını etkilemeyecek derecede ise, Bu basitleştirme, serbestlik derecesi sayısını veya hareket denklemi sayısını azaltma bazında uygulanabilir.

Hesaplarımıza; Bir yapı olarak sadece düzlem çerçeveler olarak mukabelesinin hesaplanmasıının kabülüyle (simetrik yapı ve simetrik yükler için) düğüm noktası serbestlik derecesi üçe indirgenmiş, kolonların uzama ve kısalmalarının ihmaliyle ikiye, ve kırışların sonsuz rijit olduğu kabulu ile her düğüm noktası için serbestlik derecesi sayısını bir olarak buluruz. Bu durumda sonsuz rijitlikli kırışların uzama ve kısalmaları ihmali edileceğinden

$\overrightarrow{\text{SD}=2}$

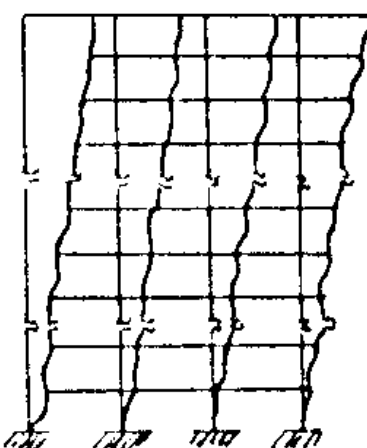
(Kolon uzamaları ihmali edilerek)



a) Kırışları esnek yapı

$\overleftrightarrow{\text{SD}=1}$

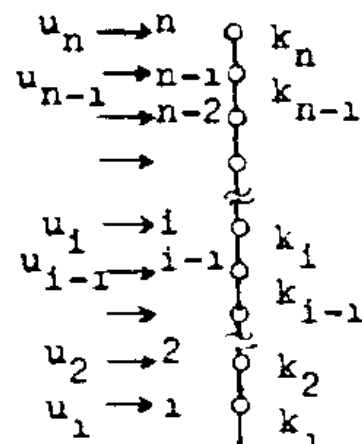
(Düğüm noktası için)



b) Kırışları rijit yapı

$\overleftarrow{\text{SD}=1}$

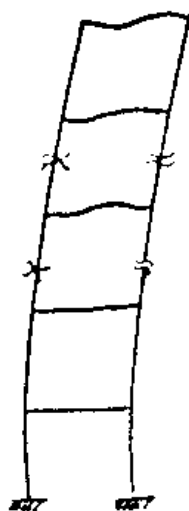
(Kat için)



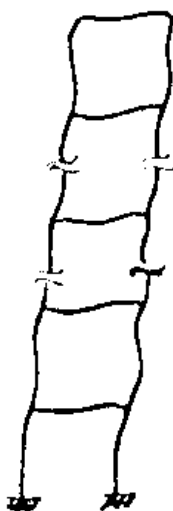
c) Model

ŞEKL-V -1 Çok serbest dereceli bir yapının basitleştirilmesi

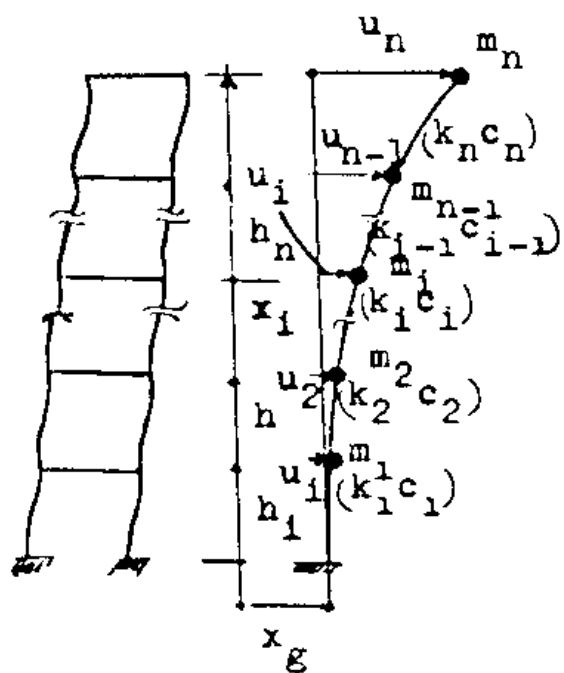
her kat için bir serbestlik derecesi elde edilmiş olacaktır. Bu şekilde yapılan bir idealizasyon gerçeğe yakın değerler vermektedir. Çok serbestlik dereceli yapıların modellendirilmesine bir açıklama olarak şekil-2 'yi inceleyelim. Birbirlerine kütleleri ihmali edilmiş yay ve söndürücülerle (kolonlar) bağlı toplanmış kütleler düzeni şeklinde olarak :



(a)



(b)



(c)

ŞEKİL -V -2 Çok serbest dereceli yapı modelleri

(a) kolon rijitliği kırışlarından daha yüksek bir yapıyı, (b) yaklaşık olarak aynı rijitlige sahip bir yapıyı, (c) çok rijit kırışlarından oluşmuş bir yapının modelini göstermektedir. Burada bir takım kabuller ile konsol eğilme kırışı gibi davranıştan yatan yükleri perde duvarlar ile karşılayan yapıları (a) gurubuna, konsol kesme kırışı şeklinde davranıştan yatan yapıları (b) gurubuna, çok rijit döşeme sis-

temlerden oluşan yapıları (c) grubuna örnek gösterebiliriz.

V - 2. ÇOK SERBESTLİK DERECELİ SİSTEMLERDE HAREKET DENKLEMLERİ.

Sistemlerin hareket denklemleri genel olarak her bir toplanmış kütleye ait serbestlik derecesine tekabül eden kütleye etkiyen yatay kuvvetlerin dengesinden elde edilir. Bir i serbest derece için, kütlenin hareket denklemi; genel olarak, ATALET KUVVETİ (F_{A1}) + SÖNÜM KUVVETİ (F_{S1}) + YAY KUVVETİ (F_{Y1}) - DİNAMİK KUVVET ($F_{D1}(t)$) = 0 veya n serbestlik dereceli bir sistem için;

$$F_{A1} + F_{S1} + F_{Y1} = F_{D1}(t)$$

$$F_{A2} + F_{S2} + F_{Y2} = F_{D2}(t)$$

$$\begin{matrix} \vdots & \vdots & \vdots & \vdots \\ \vdots & \vdots & \vdots & \vdots \\ \vdots & \vdots & \vdots & \vdots \end{matrix}$$

$$F_{An} + F_{Sn} + F_{Yn} = F_{Dn}(t) \quad \text{veya}$$

$$\text{matris olarak;} \quad \left[\begin{array}{c} F_A \\ F_S \\ F_Y \end{array} \right] + \left[\begin{array}{c} F_S \\ F_D \end{array} \right] = \left[\begin{array}{c} F_D(t) \end{array} \right]$$

(1) olur

V - 2.1. KUVVETLERİN İNCELENMESİ

Atalet kuvveti: Çok serbestlik dereceli sistemde toplanmış kütlelerde oluşan D' Alabert kuvvetleridir. ve $F_{Ai} = m_{ij} \ddot{u}_j$ ($i = 1, 2, \dots, n$ ve $j = 1, 2, \dots, n$) dir. m_{ij} , j noktasında takip edilen birim için i noktasında meydana gelen aynı doğrultudaki kuvvete eşdeğerdir.

$$F_{A1} = m_{11} \ddot{u}_1 + m_{12} \ddot{u}_2 + \dots + m_{1n} \ddot{u}_n$$

$$F_{A2} = m_{21} \ddot{u}_1 + m_{22} \ddot{u}_2 + \dots + m_{2n} \ddot{u}_n \quad \text{ve } n.\text{ci satır}$$

n.ci sütün için;

$F_{AK} = m_{n1}\dot{U}_1 + m_{n2}\dot{U}_2 + \dots + m_{nn}\dot{U}_n$ veya matris olarak kapalı halde; $\{F\} = [m]\{\dot{U}\}$ denklemleri ile gösterilebilir. $[m]$ matrisi kütle matrisi olarak adlandırılır.

Sönüüm kuvveti : Sönüümün genellikle viskoz olarak kabul edildiği, böylece sönüüm kuvvetinin kütlenin hızına orantılı olduğu belirtilmiş idi. Bu sebeple; $F_{S1} = C_{1j}\dot{U}_j$ ile ifade edilebilir. C_{1j} , j noktasına uygulanan birim bağıl hızın i noktasında yaratacığı aynı doğrultudaki kuvvetine eşittir.

$$F_{S1} = C_{11}\dot{U}_1 + C_{12}\dot{U}_2 + \dots + C_{1n}\dot{U}_n$$

$$F_{S2} = C_{21}\dot{U}_1 + C_{22}\dot{U}_2 + \dots + C_{2n}\dot{U}_n$$

$$\vdots \quad \vdots \quad \vdots \quad \vdots$$

$$\vdots \quad \vdots \quad \vdots \quad \vdots$$

$$F_{Sn} = C_{n1}\dot{U}_1 + C_{n2}\dot{U}_2 + \dots + C_{nn}\dot{U}_n$$

veya kapalı matris ifadesi olarak, $\{F_S\} = [c]\{\dot{U}\}$ şeklinde gösterilebilir. $[c]$ sönüüm matrisi olarak adlandırılır.

Yay Kuvveti : Yapı rijitliğinin esnek-doğrusal elemanlarca sağlandığı varsayımlıyla $F_{Yi} = k_{ij}U_j$ denklemi ile verilir. k_{ij} , j noktasına uygulanan birim bir bağıl deplasmanın i noktasında aynı doğrultuda oluşturacağı eş kuvvetidir.

$$F_{Y1} = k_{11}U_1 + k_{12}U_2 + \dots + k_{1n}U_n$$

$$F_{Y2} = k_{21}U_1 + k_{22}U_2 + \dots + k_{2n}U_n$$

$$\vdots \quad \vdots \quad \vdots \quad \vdots$$

$$\vdots \quad \vdots \quad \vdots \quad \vdots$$

$$F_{Yn} = k_{n1}U_1 + k_{n2}U_2 + \dots + k_{nn}U_n$$

veya kapalı matris formu ile; $\{F_Y\} = [k]\{U\}$, $[k]$ rijitlik matrisidir.

Buradan denklem (1) kullanılarak, titreşim denklemleri en genel haliyle;

$$m \{U\} + c \{\dot{U}\} + k \{U\} = \{F(t)\} \quad (2) \text{ olur.}$$

Yapı dinamığında, çerçevelere ait titreşim denklemleri çerçeve sistemlerinin bağımlı olduğu kabul edilerek, yanal öteleme serbestlik derecelerine sahip sistemlerde

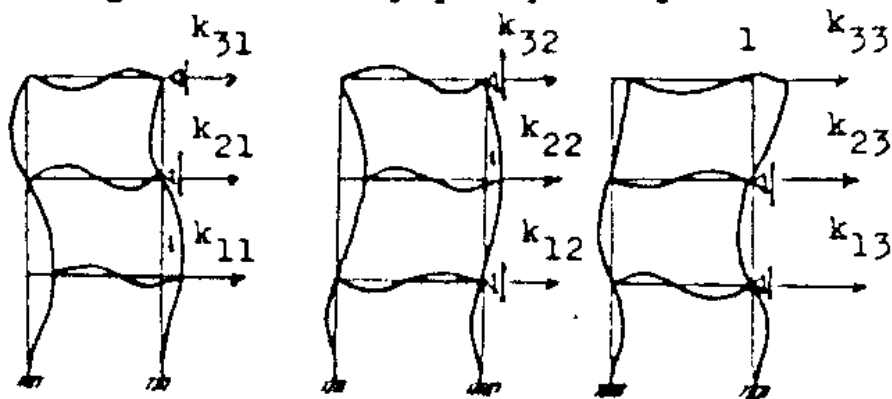
$$[m] = \begin{bmatrix} m_1 & 0 & 0 & \dots & 0 \\ 0 & m_2 & 0 & \dots & 0 \\ 0 & 0 & m_3 & \dots & 0 \\ \vdots & \vdots & \vdots & \ddots & \vdots \\ \vdots & \vdots & \vdots & \ddots & \vdots \\ \vdots & \vdots & \vdots & \ddots & \vdots \\ 0 & 0 & 0 & \dots & m_n \end{bmatrix}$$

bu matris köşegen matrisdir.

V -2.2 RIJITLIK MATRİSİ ELEMALARININ TESBİTİ :

Herhangi bir kütleye uygulanan birim öteleme sadece komşu kütlelere etkiyorsa bunlara basit bağlantılı, aksi durumda tüm kütlelere etkiyorsa bu modellere yakın bağlantılı sistemler denir. Şekil-2'de (a),(b) ikinci duruma, (c) ise ilk durumun örneğidir.

Fasit bağlantılı bir yapı için rijitlik matrisleri söyledir.



ŞEKİL-3 Serbestlik dereceli yapı modeli rijitlik matrisi

$$[k] = \begin{bmatrix} k_1 + k_2 & -k_2 & 0 & 0 & 0 & \dots & 0 \\ -k_2 & k_2 + k_3 & -k_3 & 0 & 0 & \dots & 0 \\ 0 & -k_3 & k_3 + k_4 & -k_4 & 0 & \dots & 0 \\ 0 & 0 & -k_4 & k_4 + k_5 & -k_5 & \dots & 0 \\ 0 & 0 & 0 & -k_5 & & & : \\ : & : & : & : & & & : \\ : & : & : & : & & & : \\ 0 & 0 & 0 & 0 & \dots & \dots & k_n \end{bmatrix}$$

Yapı söñüm matrisini, yapı için doğrudan doğruya belirliyebileceğimiz niteliklere dayanarak yazmak olanağıdır. Ancak deneysel verilere bağlı olarak belirlenebilir, veya problemin önemine göre söñüm ihmali edilerek çözüm yapılabilir.

V -3. ÇOK SERFESTLİK DERECELİ SİSTEMLERDE SÖÑÜMSÜZ SERBEST TİTREŞİM.

Serbestlik derecesi sayısı kadar oluşan titreşim denklemlerinden, yine serbestlik derecesi sayısı kadar tabii mod (karakteristik deformasyon şekilleri) ve her moda tekabül eden tabii periyod veya tabii frekans elde edilecektir. Serbest titreşimin herhangi bir modunda sistemin herhangi bir koordinatına tekabül eden hakiki genlik hesaplanamaz. Sistemin koordinat noktalarının deplasmanlarının birtbirlerine oranları serbest titreşimin herhangi bir zamanından sabittir.

Söñümsüz n serbestlik dereceli bir sistemin genel titreşim denklemi; $m_{ij} \ddot{U}_j + k_{ij} U_j = 0$ (3) olur.

Serbest titreşim için sistem ötelemelerinin

$$U(t) = \phi \sin(\omega t + \theta)$$

denklemi ile verildiği varsayılarak ispatını yapalım.

Bu ifadeyi genelleştirerek;

$$U_j = \phi_j \cdot q(t)$$

$U_j = \dot{\phi}_j \cdot q(t)$ ivmesi olup (3)'de yerine konursa; $m_{ij} \cdot \phi_j \cdot \ddot{q}(t) + k_{ij} \cdot \phi_j \cdot q(t) = 0$

$$\frac{\ddot{q}(t)}{q(t)} = -\frac{k_{ij}}{m_{ij}} \frac{\phi_j}{\dot{\phi}_j}$$

Basit harmonik hareketin tarifinden, herhangi bir koordinat noktasına tekabül eden denklemin sağ veya sol terimleri sabittir.

$\frac{\ddot{q}(t)}{q(t)} = -\omega^2$ olarak alınırsa,
 $\ddot{q}(t) + \omega^2 q(t) = 0$ (4) olarak basit harmonik hareket denklemi elde edilir. Bu ispat ile ötelemenin bu ifadesinin geçerli olacağı koşulları, ϕ vektörü, ω frekansı ve θ faz açısı ile belirlenen harmonik hareket genliklerinin serbestlik derecelerine göre dağılımını göstermeye ve zamana bağlı olmadığını söyleyebiliriz.

Denklem (4), (3)'de yerine konulursa:

$$-\omega^2 [m] \{\phi\} \sin(\omega t + \theta) + [k] \{\phi\} \sin(\omega t + \theta) = \{0\}$$

veya $[[k] - \omega^2 [m]] \{\phi\} = \{0\}$ (5) karakteristik

değer denklemini elde ederiz. Denklem (5) bir simultane lineer denklem sistemini irdeler. Katsayı matrisi determinanının sıfır eşit olmasıyla bu sistemin sıfırdan farklı çözümü gerçekleştirebilir.

$\left[\begin{bmatrix} k \\ -w^2 \end{bmatrix} \begin{bmatrix} m \end{bmatrix} \right] = 0$ (6) bu denklem sistemin frekans denklemi veya karakteristik denklemidir. ve n sayıda kök içe-rir ve bunlar w 'lar ile n adet titreşim modalarının doğal titreşim frekanslarının (modal frekansları) belirler. Sis-tem doğal frekanslarının en küçüğünü temel frekans olarak alıp büyülüklerine göre bir sıralamaya gidilir.

$$\{w\} = \begin{Bmatrix} w_1 \\ w_2 \\ w_3 \\ \vdots \\ \vdots \\ w_n \end{Bmatrix}$$

Her tür modal frekans için denklem (5)'deki katsayı matrisi hesaplanarak bu modal frekansa tekabül eden harmo-nik titreşim genlikleri elde edilir. Genliklerin kesin ciò-züm belirsizliği ve ancak bir koordinattaki genlikler cin-sinden çözülebilmesinden ötürü, birinci serbestlik derece-sine ait koordinatın genliği, bu genliği birim öteleme varsayıarak kullanılır. $U(t) = \phi \sin(wt - \theta)$ 'ün var-sayıımı ile çok serbestlik dereceli sistem ancak modları ile belirlenen şekillerde ve frekanslarda basit harmonik titreşim yapabilir. Modal titreşimlerde her bir serbestlik derecesindeki ötelemeler herhangi bir zaman değeri için modla orantılı olup aralarında faz farkı yoktur. i. ve j. doğal titreşim modları arasında ortogonalilikler mevcuttur.

$$\{\phi_i\}^T \begin{bmatrix} m \end{bmatrix} \{\phi_j\} = 0 \quad i \neq j$$

$$\{\phi_i\}^T \begin{bmatrix} k \end{bmatrix} \{\phi_j\} = 0 \quad i \neq j$$

bundan faydalananarak sistemdeki herhangi bir öteleme şekli modal vektörler cinsinden ifade edilebilir.

$$\{u\} = q_1 \{\phi_1\} + q_2 \{\phi_2\} + \dots + q_n \{\phi_n\}$$

burada $\{q\}$ vektörü ;

$$q_i = \frac{\{u\}^T \{\phi_i\}}{\{\phi_i\}^T \{\phi_i\}}$$

ile bulunacaktır.

V -4. ZORLANMIŞ SÖNÜMSÜZ ÇOK SERBESTLİK DERECELİ SİSTEMLER

MOD SÜPERPOZİSYON METODU

Serbest titreşimde elde edilen mod vektörler ve tabii frekanslar, zorlanmış titreşim denklemlerinin çözümünde kullanılan en önemli donelerdir. Bu metoddada sistem ve elemanların lineer olduğu kabul edilerek, bir kütlenin mukabelesi, her moda tekabül eden deplasmanların toplamından oluşmaktadır.

$$u_i(x_i t) = \phi_{ij}(x) \cdot q_j(t)$$

$$\{u\} = [\phi] \{q\}$$

$\{u\}$ deplasman vektörü, $[\phi]$ serbest titreşimden elde edilen modlar matrisini, $\{q\}$ ise her modun toplam mukabeleye katkısını belirleyen amplitud vektördür.

$\{c\} = [\phi] \{q\}$ sönümstüz genel denklemdede yerine koyarsak;

$$[m]\{u\} + [k]\{u\} = \{F(x, t)\}$$

$[m][\phi]\{q\} + [k][\phi]\{q\} = \{F(x, t)\}$ ve her terim ϕ^T ile çarpılırsa,

$$[\phi]^T [m] [\phi] \{q\} + [\phi]^T [k] [\phi] \{q\} = [\phi]^T \{F(x, t)\}$$

$[M] = [\phi]^T [m] [\phi]$ alınan köşegen matrisidir.

$$[\mathbf{M}] \{\mathbf{q}\} + [\boldsymbol{\emptyset}]^T [\mathbf{k}] [\boldsymbol{\emptyset}] \{\mathbf{q}\} = [\boldsymbol{\emptyset}]^T \{F(x, t)\} \text{ ifadeyi}$$

M'ne bölersek ve $\frac{[\boldsymbol{\emptyset}]^T [\mathbf{k}] [\boldsymbol{\emptyset}]}{[\mathbf{M}]} = w^2 ; \frac{[\mathbf{k}]}{[\mathbf{M}]} = w^2$

Bütün kare matrisler köşegen olduğundan bu ifadele-
rin n adet bağımsız diferansiyel denklemleri temsil eder.
Çözümün n adet tek serbestlik dereceli titresim denklem-
lerinin çözümüne paralel olduğu gözükmemektedir. Herhangi
bir i modu için genel titresim denklemi;

$$\ddot{q}_i + w_i^2 = \frac{[\boldsymbol{\emptyset}_i]^T \{F(x, t)\}}{M_i} ; \frac{K_i}{M_i} = w_i^2 \text{ elde edilir.}$$

M_i genelleştirilmiş kütle, K_i genelleştirilmiş rijitlikdir.
Çözüm Duhamel entegraline indirgenmiş olur.

$$q_i = \int_0^t \frac{[\boldsymbol{\emptyset}_i]^T \cdot \{F(x, t')\}}{M_i} \cdot \frac{1}{w_i} \sin w_i(t - \tau) d\tau \text{ veya}$$

$$\{F(x, t)\} = F_s \{F\} f(t)$$

$$q_i = X_i (\text{DYP})_i$$

$$X_i = \frac{[\boldsymbol{\emptyset}_i]^T \{F\} F_s}{w_i^2 M_i} , \quad i \text{ modunun katkısını belirleyen}$$

katılma faktörüdür.

$$(\text{DYP})_i = \int_0^t w_i f(t) \sin w_i(t - \tau) d\tau$$

yaygın olarak kullanılan normalleştirilmiş $[\boldsymbol{\emptyset}']$ matrisiyle
U deplasmanları bulunur.

$$[\boldsymbol{\emptyset}'_{ir}]^T [\mathbf{M}] [\boldsymbol{\emptyset}'_{ir}] = 1 \text{ ile normalleştirilerek}$$

$$\{U\} = [\boldsymbol{\emptyset}'] \{q\} \text{ bulunur.}$$

$$F(t) = \sin \omega t \text{ ise } (\text{DYP})_i = \frac{1}{1 - (\omega/w_i)^2} \sin \omega t$$

$$U_i = F/k \left(\frac{1}{1 - (\omega/w_1)^2} + \frac{1}{1 - (\omega/w_2)^2} + \dots + \frac{1}{1 - (\omega/w_n)^2} \right).$$

$\sin \omega t$

$$F(t) = 1 \text{ ise } (LYF)_1 = (1 - \cos w_i t)$$

$U_1 = \phi'_{11} q_1 + \phi'_{12} q_2 + \dots + \phi'_{1n} q_n$ gibi genelleşebiliriz.

V - 5 SÖNÜMLÜ SİSTEMLER :

$$[M]\{U\} + [C]\{\dot{U}\} + [K]\{U\} = \{F(t)\}$$

$\{U\} = [\phi]\{q\}$ uygulanırsa,

$[M][\phi]\{q\} + [C][\phi]\{q\} + [K][\phi]\{q\} = \{F(t)\}$ bu denklemin her iki tarafını $\{\phi_i\}^T$ ile çarpıp, doğal modların ortogonallığını uygularsak, sönümlü matrisine görede doğal modların ortogonallığı tatbik edilirse,

$$\{\phi_i\}^T [M]\{\phi_j\} q_j + \{\phi_i\}^T [C]\{\phi_j\} q_j + \{\phi_i\}^T [K]\{\phi_j\} q_j = \{\phi_i\}^T \{F(t)_j\}$$

$\{\phi_i\}^T [C]\{\phi_j\} q_j = c_j \cdot q_j$ olup. c_j genelleştirilmiş sönümlü katsayıısıdır. M_j ile bölgerek genel denklemi yazarsak;

$$q_j + 2 \sum_j w_j q_j + w_j^2 q_j = \phi_i^T F_j(t) ; \frac{c_j}{M_j} = 2 \sum_j w_j$$

olup, j her bir titresim modu için geçerli viskoz sönümlü oranıdır. Sönümlü ortogonalının ancak $[C] = \alpha[M] + \beta[K]$ koşulu ile gerçekleştirilebilir. Bunun belirli yakınsaklıklık ile şu amprik matrisden elde edilebilir.

$$[\phi]^T [C] [\phi] = [C] = \begin{bmatrix} 2 \sum_1 w_1 M_1 & 0 & \dots & 0 \\ 0 & 2 \sum_2 w_2 M_2 & \dots & 0 \\ \vdots & \vdots & \ddots & \vdots \\ \vdots & \vdots & \ddots & \vdots \\ 0 & 0 & \dots & 2 \sum_n w_n M_n \end{bmatrix}$$

düzenlemeyle bu ifade $[C] = [M][\phi][C][\phi]^T[M]$ dir.

Yapı sömüm matrisi $[C]$ bazı doğrusal olmayan sistem çözümüleriyle ilgili uygulamalar dışında elde edilmesi gerekmektedir. En genel haliyle düzenlenmiş titreşim denklemimiz;

$$\begin{bmatrix} 1 & 0 & \dots & 0 \\ 0 & 1 & \dots & 0 \\ \vdots & \vdots & & \vdots \\ \vdots & \vdots & & \vdots \\ \vdots & \vdots & & \vdots \\ 0 & 0 & \dots & 1 \end{bmatrix} \begin{Bmatrix} q_1 \\ q_2 \\ \vdots \\ q_n \end{Bmatrix} +$$

$$\begin{bmatrix} 2\zeta_1 w_1 & 0 & \dots & 0 \\ 0 & 2\zeta_1 w_1 & \dots & 0 \\ \vdots & \vdots & & \vdots \\ \vdots & \vdots & & \vdots \\ \vdots & \vdots & & \vdots \\ 0 & 0 & 2\zeta_n w_n & \end{bmatrix} \begin{Bmatrix} d_1 \\ d_2 \\ \vdots \\ d_n \end{Bmatrix} +$$

$$\begin{bmatrix} w_1^2 & 0 & \dots & 0 \\ 0 & w_1^2 & \dots & 0 \\ \vdots & \vdots & & \vdots \\ \vdots & \vdots & & \vdots \\ \vdots & \vdots & & \vdots \\ 0 & 0 & w_n^2 & \end{bmatrix} \begin{Bmatrix} q_1 \\ q_2 \\ \vdots \\ q_n \end{Bmatrix} = \begin{Bmatrix} F_1 \\ F_2 \\ \vdots \\ F_n \end{Bmatrix}$$

olmaktadır. Sistem serbestlik derecelerindeki geometrik ötelemeler modal süperpozisyon yöntemiyle,

$$\{u(t)\} = [\phi] \{q(t)\} \text{ veya açık ifadeyle}$$

$$\{u(t)\} = \{\phi_1\} q_1(t) + \{\phi_2\} q_2(t) + \dots + \{\phi_n\} q_n(t)$$

denklemiyle bulunmaktadır.

Serbestlik derecelerine etkiyen yanal deprem kuvvetleri

$$P_i(t), \quad \{P(t)\} = [k] \{U(t)\} = [k] [\emptyset] \{q(t)\}$$

$$\{P(t)\} = \sum_{i=1}^n [k] \{\emptyset_i\} q_i(t) \quad \text{ve}$$

$$[[k] - w^2 [M]] \{\emptyset\} = \{0\} \quad \text{düzenlemesiyle}$$

$$P_i(t), \quad \{P(t)\} = \sum_{i=1}^n [M] \{\emptyset_i\} w_i^2 q_i(t)$$

Serbestlik derecelerindeki kat kesme kuvvetleri;

$$\{V(t)\} = [S] \{P(t)\}, [S] \text{ birim üst üçgen matrisidir.}$$

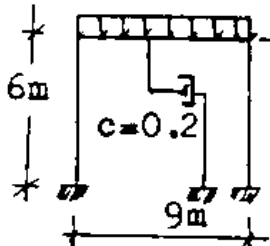
her bir katta oluşan devirme momentleri; $Md_i(t)$

$$\{Md_i(t)\} = h [S][S] \{P(t)\} \quad h : \text{katlar arası mesafe}$$

PROBLEM - 1 : Tek serbest dereceli elastik sistemin

adım adım integral metodu ile çözümü.

$$q = 15 \text{ KN/m}$$



$$k = 12 EI_c / L^3 = \frac{12 \cdot 2,1 \times 10^6 \cdot 23,5 \times 10^6}{6000^3}$$

$$k_c = 2.74166 \text{ KN/mm}$$

$$k = 2 \cdot k_c = 5.4833 \text{ KN/mm}$$

$$m = G/g = q \cdot l/g = 15.9/9.81$$

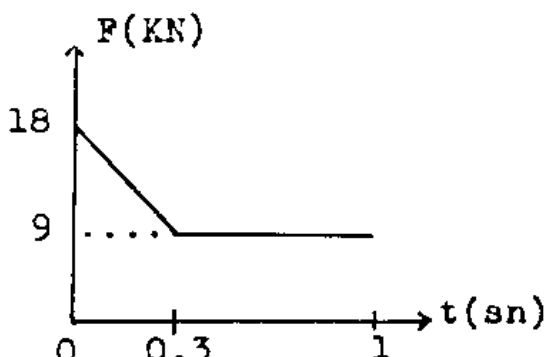
$$m = 0.01376 \text{ KN} \cdot \text{sn}^2/\text{mm}$$

Bir kolonun alabileceği maximum moment 30 KNm olsun.

Sistemdeki kolonların alacağı $M_{\max} = F \cdot L = 60 = F \cdot 6$

$$F_{\max} = 10 \text{ KN}, F_{\max} = k \cdot v_{\max} \quad 10 = 5.4833 \cdot v_{\max}$$

$$v_{\max} = 1.8237 \text{ mm}$$



$$\Delta P(t) = \Delta p(t) + 0.01376((6/0.1)\dot{U}(t) + 3\ddot{U}(t)) + 0.2(3\dot{U}(t) + \Delta t/2\ddot{U}(t))$$

$$\Delta p(t) = \Delta p(t) + 1.4256\dot{U}(t) + 0.05128\ddot{U}(t) \quad U(t) = \tilde{p}(t)/\tilde{k}$$

$$\tilde{k}(t) = k(t) + (6/\Delta t^2)m + 3/\Delta t \cdot c(t) \quad \tilde{k}(t) = 5.4833 + 14.256$$

Nonlineer sistemde $\tilde{k}(t) = k(t) + 14.256$ denklemi plastikleşme durumunda geçerlidir.

$$\Delta \dot{U}(t) = 3/\Delta t \cdot \Delta U(t) - 3\dot{U}(t) - \Delta t/2\ddot{U} = 30\Delta U(t) - 3\dot{U}(t) - 0.05\ddot{U}(t)$$

$$\ddot{U}(t) = (1/m) \cdot (p(t) - f_D(t) - f_B(t))$$

PROBLEM - 2 : Tek serbest dereceli nonelastik (plastik) sistemin adım adım integral metodu ile çözümü (veriler Pr.2' den)

t	P	U	\dot{U}	f_B	f_D	f_I	\ddot{U}	A_P	$1.4256\ddot{U}$	$0.05128\ddot{U}$	$\frac{\ddot{U}}{A_P+11}$	k	\tilde{k}	$\Delta U - \tilde{A}/k'$	ΔU	3.6	$0.05.\ddot{U}$	$4.\ddot{U}$	$16-17-18$
an	XN	mm	mm/mm																
1	2	3	4	5	6	7	8	9	10	11	12	13	14	15	16	17	18	19	
0	18	0	0	0	0	18	1312,36	-3	0	67,077	64,077	3,246	97,385	0	65,403	31,982			
0.1	15	3,246	31,982	17,799	6,396	-9,195	-668,25	-3	45,594	-34,268	8,326	0,421	12,654	95,947	-33,412	-49,881			
0.2	12	3,668	-17,90	20,11	-3,58	-4,532	-329,56	-3	-25,517	-16,889	-45,406	-2,300	-69,009	-53,697	-16,468	1,156			
0.3	9	1,367	-16,74	7,50	-3,55	4,849	352,43	0	-23,869	18,072	-5,796	-0,294	-8,809	-50,229	17,621	23,796			
0.4	9	1,074	7,053	5,89	1,41	1,701	123,2	0	10,055	6,339	16,394	0,830	24,915	21,189	6,181	-2,425			
0.5	9	1,905	4,628	10,44	0,93	-2,368	-172,14	0	6,598	-8,827	-2,229	-0,113	-3,388	13,885	-8,607	-8,666			
0.6	9	1,791	-4,038	9,82	-0,81	-0,016	-1,187	0	-5,756	-0,060	-5,917	-0,295	-8,842	-12,115	-0,059	3,332			
0.7	9	1,496	-0,705	8,21	-0,14	0,933	67,826	0	-1,006	3,478	2,472	0,125	3,757	-2,117	3,391	2,483			
0.8	9	1,622	1,776	8,89	0,35	-0,249	-18,16	0	2,533	-0,931	1,601	0,081	2,434	5,33	-0,908	-1,988			
0.9	9	1,703	-0,210	9,34	-0,04	-0,297	-21,62	0	-0,500	-1,108	-1,108	-0,071	-2,141	-0,632	-1,081	-3,427			
1.0	9	1,631	-0,638	8,98	-0,13	0,180	13,12	-3	-0,909	0,672	-9,237	-0,468	-14,04	-1,915	0,656	-12,779			
1.1	0	1,164	-13,42	6,38	-2,68	-3,698	-268,8	0	-19,127	-13,78	-32,91	-1,667	-50,01	-10,25	-13,439	3,672			
1.2	0	-0,51	-9,743	-2,76	-1,95	4,709	342,25	0	-13,893	17,55	3,658	0,187	5,633	-29,74	17,113	17,755			
1.3	0	-0,32	6,013	-1,73	1,60	0,128	9,36	0	11,425	0,48	11,903	0,603	18,089	24,038	0,468	-6,416			
1.4	0	0,287	1,596	1,58	0,32	-1,895	-137,71	0	2,275	-7,06	-4,786	-0,242	-7,274	4,788	-6,885	-5,177			
1.5	0	0,045	-3,581	0,25	-0,72	0,467	33,96	0	-5,105	1,74	-3,364	-0,170	-5,112	-10,743	1,698	3,933			
1.6	0	-0,125	0,352	-0,69	0,07	0,615	44,69												

Problem -2 TSD Elastik çözüm - Adım adım integral metodu

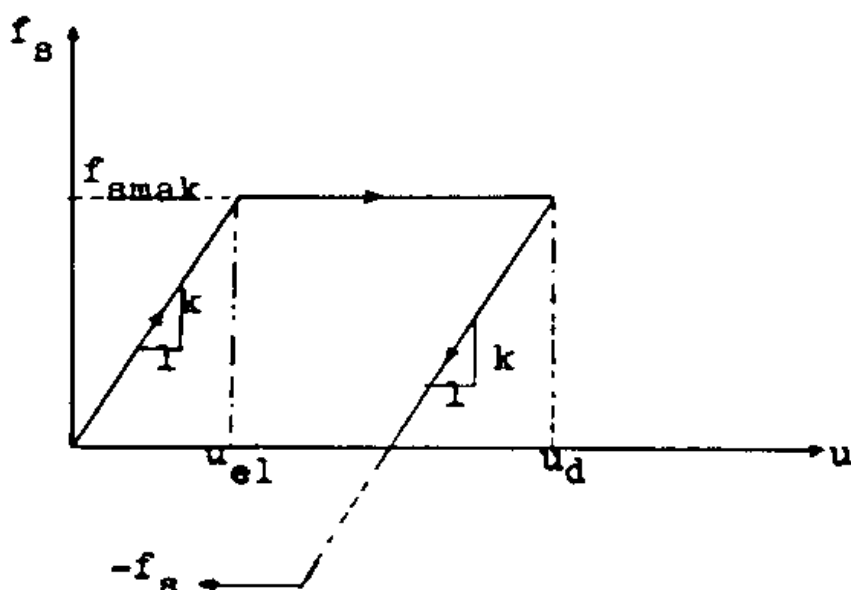
	t	p	U	Ü	f _e	f _D	f ₁	Ü	ΔP	1.4256Ü	0.05128Ü	ΔF ₉₊₁₀₊₁₁	k	Ü	ΔU=ΔF/k	30.AU	3.Ü	0.05.Ü	ΔÜ	16-17-18	
en	RN	en	en	en	K.U	c.Ü	2-5-6	f ₁ /m													
1	2	3	4	5	6	7	8	9	10	11	12	13	14	15	16	17	18	19			
0	18	0	0	0	0	0	18	1312,36	-3	0	67,077	5,483	19,74	3,246	97,385	0	65,403	31,982			
0,115	5,246	31,982	10	6,396	-1,396	-101,47	-3	45,594	-5,204	37,389	0	14,26	2,623	78,681	95,946	-5,073	-12,191				
0,212	5,869	19,791	10	3,958	-1,958	-142,3	-3	28,214	-7,296	17,918	0	14,26	1,257	37,701	59,573	-7,115	-14,552				
0,319	7,126	5,239	10	1,048	-2,048	-148,8	0	7,468	-7,632	-0,163	0	14,26	-0,011	-0,3436	15,717	-7,442	-8,619				
0,415	7,115	-3,381	9,9	-0,68	-0,244	-17,7	0	-4,819	-0,909	-5,728	5,483	19,74	-0,29	-8,706	-10,14	-0,886	2,322				
0,519	6,825	-1,059	8,3	-0,21	0,882	64,08	0	-1,510	3,286	1,776	5,483	19,74	0,09	2,70	-3,177	3,204	2,674				
0,615	6,915	1,615	8,8	0,32	-0,146	-10,66	0	2,302	-0,547	1,755	5,483	19,74	0,09	2,67	4,84	-0,53	-1,64				
0,719	7,004	-0,03	9,3	-0,06	-0,305	-22,20	0	-0,041	-1,138	-1,179	5,483	19,74	-0,06	-1,79	-0,09	-2,11	-0,59				
0,819	6,940	-0,626	8,9	-0,13	0,164	11,92	0	-0,892	0,611	-0,201	5,483	19,74	-0,014	-0,43	-1,678	0,59	0,855				
0,919	6,926	0,229	8,8	0,05	0,071	5,16	0	0,326	0,265	0,591	5,483	19,74	0,03	0,89	0,687	0,26	-0,05				
1,019	6,955	0,182	9,1	0,03	-0,083	-6,09	-9	0,26	-0,313	-9,059	5,483	19,74	-0,46	-13,76	0,548	-0,305	-14,0				
1,110	6,497	-13,819	6,5	-2,76	-3,772	-274,11	0	-19,7	-14,06	-33,76	5,483	19,74	-1,71	-51,30	-41,46	-13,71	3,859				
1,220	4,787	-9,96	-2,9	-1,99	4,836	351,51	0	-14,199	18,03	3,826	5,483	19,74	0,194	5,815	-29,88	17,576	18,12				
1,330	4,981	8,16	-1,8	1,63	0,15	10,91	0	11,635	0,56	12,19	5,483	19,74	0,617	18,53	24,48	0,545	-6,49				
1,440	5,598	1,66	1,6	0,33	-1,94	-140,72	0	2,373	-7,22	-4,84	5,483	19,74	-0,245	-7,36	4,99	-7,04	-5,32				
1,550	5,553	-3,66	0,3	-0,73	0,47	34,08	0	-5,21	1,75	-3,46	5,483	19,74	-0,175	-5,26	-10,96	1,70	3,99				
1,660	5,178	0,34	-0,7	0,07	0,63	45,93															

Problem -3 TSD Nonelastik (plastik) çözüm - Adım adım integral metod.

Problemler için açıklamalar :

Tek serbestlik dereceli bir yapının elastik çözümü için adım adım integral metodu el hesabına uygun hesap tablosu ve uygulaması shf. 48'e konulmuştur. Yapı rijitliği hesap boyunca değişmemekte ve elastiklik hesap boyunca korunmaktadır.

Tek serbestlik dereceli bir yapının plastik çözümü için oluşturulan tablo bir evvelki problemin tamamen aynıdır. f_s yay kuvveti f_{smak} ile sınırlıdır. $f_{smak} = k \cdot u$ ifadesinden görüleceği üzere yapıda deplasmanları sınırlama mümkün değildir. O halde f_{smak} eşitliğini sağlayacak bir rijitliği olmaktadır. Bu her adımda deplasmanların t_n ile t_{n+1} inci istasyonlar arasında kontrolü ile değişmektedir. Burada söz konusu olan deplasman bir önceki noktaya göre bağıl deplasmandır.

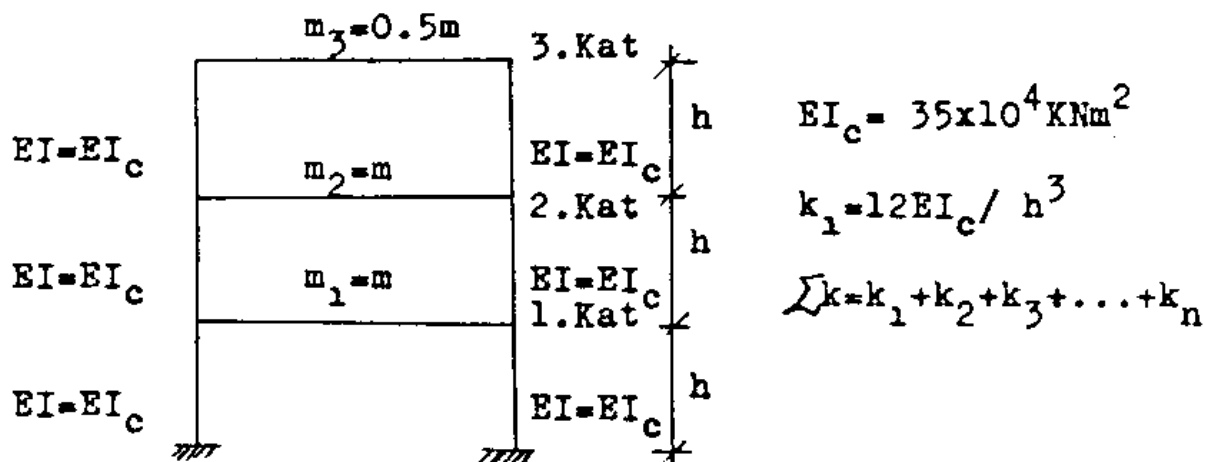


u_{el} = Lineer deplasman sınırı

f_s = Lineer (elastik)yay kuvveti

u_d = Düktil deplasman limiti

PROBLEM - 3 : Çok serbest dereceli sistemlerde bir yapı çözümü.



$$\sum k = 2 \times 12 \times EI_c / h^3 = 2 \cdot 12 \cdot 35 \times 10^4 / 3^3 = 31,1 \times 10^4 \text{ KN/m}$$

$$m = 500 \text{ KN.sn}^2/\text{m} \quad \sqrt{\frac{k}{m}} = 24.939$$

$$[k] = \begin{bmatrix} k_1 + k_2 & -k_2 & 0 \\ -k_2 & k_2 + k_3 & -k_3 \\ 0 & -k_3 & k_3 \end{bmatrix} = k \begin{bmatrix} 2 & -1 & 0 \\ -1 & 2 & -1 \\ 0 & -1 & 1 \end{bmatrix}$$

$$[m] = \begin{bmatrix} m_1 & 0 & 0 \\ 0 & m_2 & 0 \\ 0 & 0 & m_3 \end{bmatrix} = m \begin{bmatrix} 1 & 0 & 0 \\ 0 & 1 & 0 \\ 0 & 0 & 0.5 \end{bmatrix}$$

Eigen değerleri :

$$\text{EIGEN}(1) = 0.267949$$

$$\text{EIGEN}(2) = 2.0$$

$$\text{EIGEN}(3) = 3.73205$$

$$\text{Doğal Frekanslar} / \sqrt{\frac{k}{m}}$$

$$w(1) = 0.082384$$

$$w(2) = 0.225$$

$$w(3) = 0.307$$

Frekanslar :

$$f_I = w_1 \cdot \sqrt{k/m}$$

$$f_1 = 0.0823 \cdot 24.939 = 2.055$$

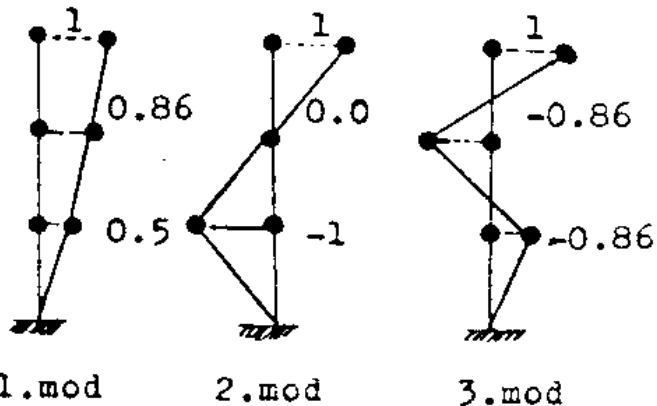
$$f_2 = 0.225 \cdot 24.939 = 5.613$$

$$f_3 = 0.307 \cdot 24.939 = 7.668$$

Normalize etme işlemi vektörde bulunan en büyük elemanın bir alınarak diğerlerinin ayarlanmasıyla yapılmıştır.

$$[\phi] = \begin{bmatrix} 0.5 & -1 & 0.5 \\ 0.866 & 0 & -0.866 \\ 1 & 1 & 1 \end{bmatrix}$$

↑ ↑ ↑
1.mod 2.mod 3.mod



Kütle Matrisi : $M_I = K_M(I) = [\phi_I]^T [m] [\phi_I]$

$$M_1 = M_2 = M_3 = 1.5$$

q_I Katılım Faktörleri : $q_I = [\phi_I]^T [m] [I] / M_I$

$$q_1 = 1.244$$

Yalancı deplasman PSV değerlerinin

$$q_2 = -0.33$$

söñüm yüzdesine göre okutulması

$$q_3 = 0.089$$

$\xi_I = 0$ (Söñümsüz sistem çözümü)

$$PSV_I (f_I, \xi_I)$$

Genelleştirilmiş

$$PSV_1 (2.054, 0) = 90$$

koordinatların spektral

$$PSV_2 (5.61, 0) = 65$$

değerleri :

$$PSV_3 (7.66, 0) = 40$$

$$Y_I = q_I / w_I \cdot PSV_I$$

$$Y_1 = 8.673 \quad Y_2 = 0.614 \quad Y_3 = 0.074$$

Ötelemelelerin spektral değerleri :

$$\{U_I\} = \{\phi_I\} \cdot Y_I$$

$$[U] = \begin{bmatrix} 4.336 & 0.614 & 0.037 \\ 7.511 & 0.0 & -0.064 \\ 8.673 & -0.614 & 0.074 \end{bmatrix}$$

Yanal deprem kuvvetlerinin spektral değerleri :

$$\{P_I\} = [m] \cdot w_I^2 \cdot \{U_I\}$$

$$[P] = \begin{bmatrix} 722.67 & 764.16 & 86.1 \\ 1251.71 & 0.0 & -149.1 \\ 722.68 & -382.1 & 86.1 \end{bmatrix}$$

Kat kesme kuvvetlerinin spektral değerleri :

$$\{v_I\} = [S] \{P_I\}$$

$$[V] = \begin{bmatrix} 2697.06 & 382.08 & 23.06 \\ 1974.39 & -382.08 & -63.00 \\ 722.68 & -382.08 & 86.01 \end{bmatrix}$$

Devirme momentlerinin spektral değerleri :

$$\{MD_I\} = h[S] \{v_I\}$$

$$[MD] = \begin{bmatrix} 16182.4 & -1146.2 & 138.4 \\ 8091.2 & -2292.5 & 69.2 \\ 2168.0 & -1146.2 & 258.2 \end{bmatrix}$$

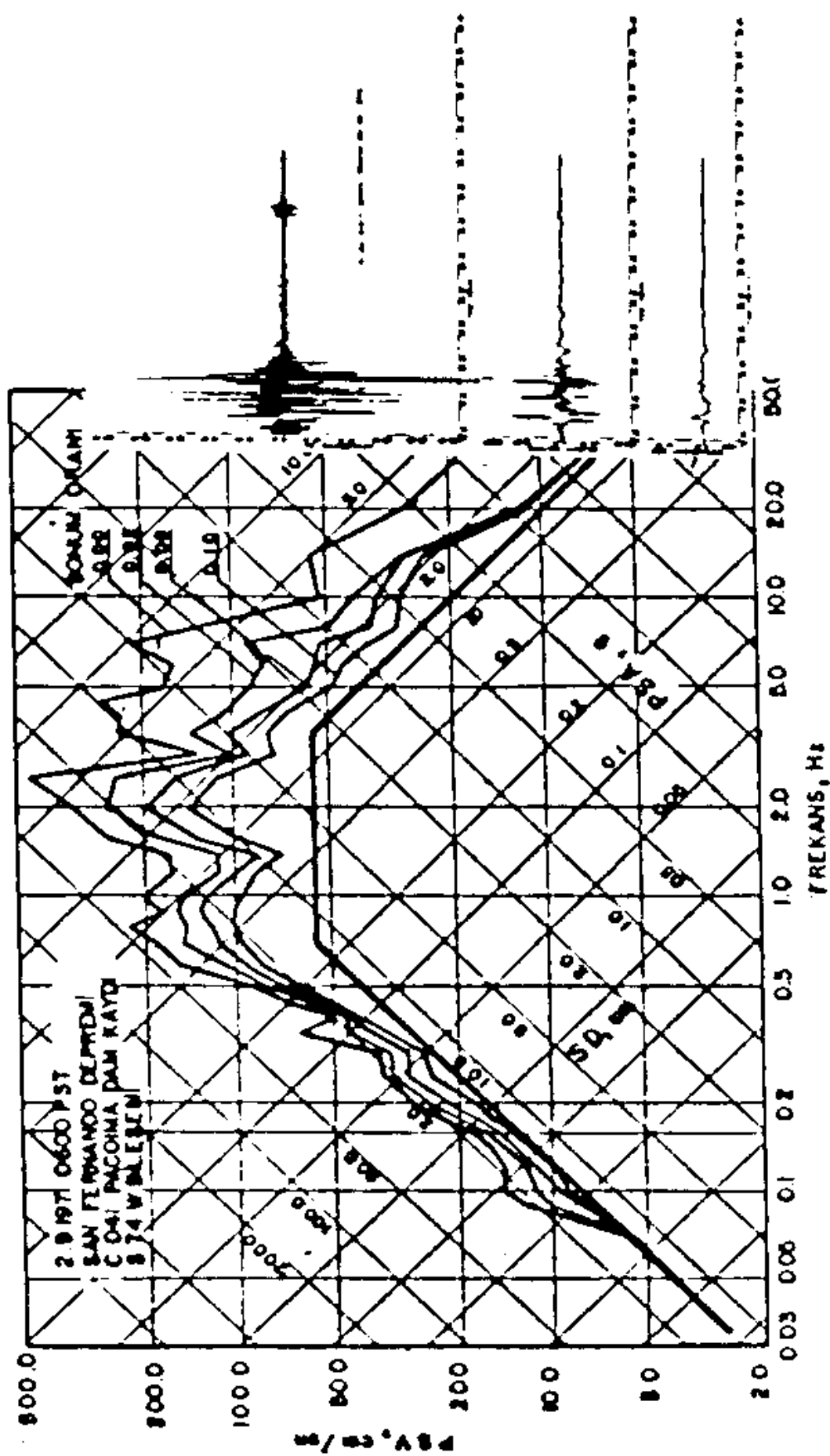
Modal bileşimlerin spektral karelerinin körekökü
değerleri :

$$\{U\}_{KKK} = [\{u_1\}^2 + \{u_2\}^2 + \dots + \{u_n\}^2]^{1/2}$$

$$\{U\} = \begin{Bmatrix} 4.4 \\ 7.5 \\ 8.8 \end{Bmatrix} \quad \{V\} = \begin{Bmatrix} 2724.8 \\ 2009.4 \\ 823.5 \end{Bmatrix} \quad \{MD\} = \begin{Bmatrix} 16225.7 \\ 8411.8 \\ 2463.7 \end{Bmatrix}$$

$$\{V\}_{KKK} = [\{v_1\}^2 + \{v_2\}^2 + \dots + \{v_n\}^2]^{1/2}$$

$$\{MD\}_{KKK} = [\{MD_1\}^2 + \{MD_2\}^2 + \dots + \{MD_n\}^2]^{1/2}$$



deprem davranışlı spektrumu

```

20 OPEN "O",#1,"D.OUT"
21 REM*****TEK SERBESTLIK DERECELI YAPI DINAMIGI PROBLEMI*****
22 REM*****ELASTIK YAPI SISTEMLERİ ICIN COZUM*****
23 REM*****STEP BY STEP/ADIM ADIM INTEGRAL METODU*****
24 REM*****K E M A L B E Y E N * * * Y . U ****
25 DIM U(800),U1(800),U2(800),P(800),DELU(800),DELU1(800),DELU2(800),DELP(800)
,Z(20),X(20)
30 READ K,C,M,U(0),U1(0),DELT,TF,P(0)
40 FOR I=1 TO 16
50 READ Z(I),X(I)
60 NEXT I
70 N=TF/DELT
80 A=0
100 I=1
110 T=T+DELT
120 IF T > Z(16) THEN 230
130 IF T >= Z(I) AND T <= Z(I+1) THEN 160
140 I=I+1
150 GOTO 130
160 IF A=0 THEN 180
170 GOTO 220
180 FOR G=1 TO N
190 P(G)=((X(I+1)-X(I))/(Z(I+1)-Z(I)))*(T-Z(I))+X(I)
200 A=A+1
210 GOTO 110
220 NEXT G
230 U2(0)=(P(0)-C*U1(0)-K*U(0))/M
240 KS=K+3*C/DELT+6*M/DELT^2
250 FOR N=0 TO N
260 DELP(N)=P(N+1)-P(N)
270 DELPS=DELP(N)+(6*M/DELT+3*C)*U1(N)+(3*M+C*DELT/2)*U2(N)
280 DELU(N)=DELP(N)/KS
290 DELU1(N)=3*DELU(N)/DELT-3*U1(N)-U2(N)*DELT/2
300 DELU2(N)=6*DELU(N)/DELT^2-6*U1(N)/DELT-3*U2(N)
310 U(N+1)=U(N)+DELU(N)
320 U1(N+1)=U1(N)+DELU1(N)
330 U2(N+1)=U2(N)+DELU2(N)
340 NEXT N
350 PRINT #1," ZAMAN KONUM HIZ IVME
360 PRINT #1," (sn) (mm) (mm/sn) (mm/sn^2)
370 PRINT #1," ***** ***** -----
380 FOR M=0 TO N
390 L=M/10
400 PRINT #1,USING "#.##" #.##" #.##" #.##" #.##"
":L,U(M),U1(M),U2(M)
410 NEXT M
420 END
430 DATA 5.4833,0.2,0.013716,0.0,0.0,0.1,1.5,18
440 DATA 0.0,18
450 DATA 0.1,15
460 DATA 0.2,12
470 DATA 0.3,9.0
480 DATA 0.4,9.0
490 DATA 0.5,9.0
500 DATA 0.6,9.0
510 DATA 0.7,9.0
520 DATA 0.8,9.0
530 DATA 0.9,9.0
540 DATA 1.0,9.0
550 DATA 1.1,0
560 DATA 1.2,0
570 DATA 1.3,0
580 DATA 1.4,0
590 DATA 1.5,0

```

```

10 REM***** TEK SERBESTLIK DERECELI YAPI DINAMIGI PROGRAMI ****
20 REM***** ELASTIK OLmayAN YAPI SISTEMLERI ICIN COZUM ****
30 REM***** STEP BY STEP/ADIM ADIM INTEGRAL METODU ****
40 REM***** K E M A L B E Y E N ***** Y . U ****
50 OPEN "O",#1,"D2.OUT"
60 DIM U(800),U1(800),U2(800),P(800),DELU(800),DELU1(800),DELU2(800),DELP(800)
,2(20),X(20),UI(800),FI(800),FS(800),DELPS(800)
70 READ K,C,M,U(0),U1(0),DELT,TF,P(0),FSMAX,UMAK
80 FOR I=1 TO 16
90 READ Z(I),X(I)
100 NEXT I
110 R=TF/DELT
120 A=0
130 I=1
140 T=T+DELT
150 IF T > Z(16) THEN 260
160 IF T >= Z(I) AND T <= Z(I+1) THEN 190
170 I=I+1
180 GOTO 160
190 IF A=0 THEN 210
200 GOTO 250
210 FOR G=1 TO R
220 P(G)=((X(I+1)-X(I))/(Z(I+1)-Z(I)))*(T-Z(I))+X(I)
230 A=A+1
240 GOTO 140
250 NEXT G
260 U2(0)=(P(0)-C*U1(0)-K*U(0))/M
270 KS=K+3*(C/DELT)+(6*M)/DELT^2
280 Y=0: H=1 : L=0 :B=U(0)
290 FOR N=0 TO R
300 DELP(N)=P(N+1)-P(N)
310 DELPS(N)=DELP(N)+(6*M/DELT+3*C)*U1(N)+(3*M+C*DELT/2)*U2(N)
320 DELU(N)=DELPS(N)/KS
330 U(N+1)=U(N)+DELU(N)
340 IF U(N+1)>UMAK THEN GOTO 420
350 IF L > H THEN GOTO 420
360 DELU1(N)=3*DELU(N)/DELT-3*U1(N)-U2(N)*DELT/2
370 DELU2(N)=6*DELU(N)/DELT^2-6*U1(N)/DELT-3*U2(N)
380 U1(N+1)=U1(N)+DELU1(N)
390 U2(N+1)=U2(N)+DELU2(N)
400 H=H+1
410 GOTO 540
420 FOR J=0 TO N
430 IF B < U(J) THEN B=U(J)
440 NEXT J
450 UI(N+1)=U(N+1)-B+UMAK
460 FI(N+1)=K*UI(N+1)
470 IF FI(N+1)<FSMAX THEN FS(N+1)=FI(N+1) :KS=K+3*C/DELT+6*M/DELT^2:GOTO 500
480 FS(N+1)=FSMAX
490 KS=3*C/DELT+6*M/DELT^2
500 DELU1(N)=3*DELU(N)/DELT-3*U1(N)-U2(N)*DELT/2
510 U1(N+1)=U1(N)+DELU1(N)
520 U2(N+1)=(P(N+1)-FS(N+1)-C*U1(N+1))*1/M
530 Y=Y+1
540 L=H+Y
550 NEXT N
560 PRINT #1, " ZAMAN KONUM HIZ IVME "
570 PRINT #1, " (sn) (mm) (mm/sn) (mm/sn^2) "
580 PRINT #1, " ----- ----- ----- ----- "
590 FOR M=0 TO N
600 L=M*DELT
610 PRINT #1, USING "###.##", M, U(M), U1(M), U2(M), FS(N+1)

```

```
620 NEXT M
630 CLOSE #1:END
640 DATA 5.4833,0.2,0.013716,0.0,0.0,0.1,1.5,18,10,1.8237
650 DATA 0.0,18
660 DATA 0.1,15
670 DATA 0.2,12
680 DATA 0.3,9
690 DATA 0.4,9
700 DATA 0.5,9
710 DATA 0.6,9
720 DATA 0.7,9
730 DATA 0.8,9
740 DATA 0.9,9
750 DATA 1.0,9
760 DATA 1.1,0
770 DATA 1.2,0
780 DATA 1.3,0
790 DATA 1.4,0
800 DATA 1.5,0
```

```

5 CLS:KEY OFF
10 OPEN "O",#1,"D2.OUT"
20 REM *****YAPI DINAMIGI ANALIZI-SUPERPOZISYON METODU*****
30 REM *****K E M A L B E Y E N ***** Y.U ****
40 PRINT "ND=SERBESTLIK DERECESI - MATRIS BOYUTU":INPUT ND
50 DIM K(10,10),M(10,10),FI(10,10),KD(10,10),KM(10),MA(10,10),TFI(10,10),U(10,10)
1,P(10,10),V(10,10)
60 DIM MD(10,10),UK(10,10),VK(10,10),MDK(10,10),UKT(10,1),VKT(10,1),MDKT(10,1),U
KTK(10,1)
70 DIM VKTK(10,1),MDKTK(10,1)
80 FOR I=1 TO ND
90 FOR J=1 TO ND
100 READ K(I,J)
110 NEXT J
120 NEXT I
130 FOR I=1 TO ND
140 FOR J=1 TO ND
150 READ M(I,J)
160 NEXT J
170 NEXT I
180 REM EIGEN/KAREKTERistik DEGER DENKLEMİNİN OLUSTURULMASI VE KAREKTERistik DEG
ER VE DENKLEMİNİN BULUNMASI
190 GOSUB 1560
200 PRINT ****
210 PRINT "NORMALIZE EDILMIS OZ VETKORLER MODAL MATRIS KOLON NORMUNDAN"
220 FOR I=1 TO ND:FOR J=1 TO ND:PRINT USING "###.####"; FI(I,J),:NEXT J:PRINT
:PRINT :NEXT I:A$=INPUT $(1)
230 REM FI(Y,I)'LARIN TRANSPOZESİNİN ALINMASI
240 FOR I=1 TO ND
250 FOR Y=1 TO ND
260 TFI(I,Y)=FI(Y,I)
270 NEXT Y
280 NEXT I
290 REM GENELLESTIRILMIS KUTLE MATRISİNİN ELEMANLARININ HESABI
300 FOR L=1 TO ND
310 FOR I=1 TO ND
320 FOR Y=1 TO ND
330 MA(L,I)=MA(L,I)+TFI(L,Y)*M(Y,I)
340 NEXT Y
350 NEXT I
360 NEXT L
370 FOR I=1 TO ND
380 FOR Y=1 TO ND
390 KM(I)=KM(I)+MA(I,Y)*FI(Y,I)
400 NEXT Y
410 NEXT I:FOR I=1 TO ND:PRINT KM(I):NEXT I
420 PRINT ***** KUTLE MATRISI *****
430 FOR I=1 TO ND
440 PRINT USING "###.###";KM(I),:NEXT I:PRINT:A$=INPUT $(1)
450 REM KATILIM FAKTORLERİ Q(I) HESABI
460 REM BIRIM VETKOR OKUTMASI
470 FOR I=1 TO ND:FOR J=1 TO ND
480 BIRV(I,J)=1
490 NEXT J:NEXT I
500 FOR I=1 TO ND
510 FOR Y=1 TO ND
520 Q(I)=Q(I)+MA(I,Y)*BIRV(Y,I)
530 NEXT Y
540 NEXT I
550 FOR I=1 TO ND
560 Q(I)=Q(I)/KM(I)
570 NEXT I

```

```

580 PRINT "*****Q(I) KATILIM FAKTOR DEGERLERİ*****"
590 FOR I=1 TO ND:PRINT USING "#.#";Q(I),:NEXT I:A$=INPUT $(1)
600 PRINT -
610 PRINT "YALANCI DEPLASMAN PSD DEGERLERINI SONUM YUZDESINE GORE OKUT"
620 FOR I=1 TO ND:INPUT PSD(I) : NEXT I : CLS
630 REM GENELLESTIRILMIS KOORDINATLARIN SPEKTRAL DEGERLERININ BULUNMASI
640 FOR I=1 TO ND
650 Y(I)=(Q(I)/W(I))*PSD(I):PRINT Y(I)
660 NEXT I
670 PRINT "*****GENELLESTIRILMIS KOORDINATLARIN SPEKTRAL DEGERLERİ*****"
680 FOR I=1 TO ND:PRINT USING "#.#";Y(I),:NEXT I:A$=INPUT $(1)
690 PRINT
700 REM OTELEMELERIN SPEKTRAL DEGERLERİ
710 FOR I=1 TO ND
720 FOR J=1 TO ND
730 U(J,I)=U(J,I)+FI(J,I)*Y(I)
740 NEXT J
750 NEXT I
760 PRINT "***** OTELEMELERIN SPEKTRAL DEGERLERİ *****"
770 FOR I=1 TO ND:FOR J=1 TO ND
780 PRINT USING "#.#";U(I,J),
790 NEXT J:PRINT :PRINT :NEXT I:PRINT "":A$=INPUT $(1)
800 REM YANAL DEPREM KUVVETLERININ SPEKTRAL DEGERLERİ
810 PRINT "KAT YUKSEKLIGI = H = ?":INPUT H : CLS
820 REM S MATRISININ TESKILI
830 FOR I=1 TO ND
840 FOR J=1 TO ND
850 IF J>I OR J=I THEN S(I,J)=1:GOTO 870
860 S(I,J)=0
870 NEXT J:NEXT I
880 PRINT "***** S(I,J) TRANSFER MATRISI *****"
890 FOR I=1 TO ND:FOR J=1 TO ND
900 PRINT USING "#";S(I,J),
910 NEXT J:PRINT :PRINT :NEXT I:A$=INPUT $(1):CLS
920 FOR I=1 TO ND
930 FOR Y=1 TO ND
940 FOR J=1 TO ND
950 P(Y,I)=P(Y,I)+H(Y,J)*U(J,I)*W(I)^2
960 NEXT J
970 NEXT Y
980 NEXT I
990 PRINT "***** YANAL DEPREM KUVVETLERININ SPEKTRAL DEGERLERİ *****"
1000 FOR I=1 TO ND:FOR Y=1 TO ND
1010 PRINT USING "#.#";P(I,Y),:NEXT Y:PRINT :PRINT :NEXT I:A$=INPUT $(1)
1020 REM KAT KESME KUVVETLERININ SPEKTRAL DEGERLERİ
1030 FOR I=1 TO ND
1040 FOR Y=1 TO ND
1050 FOR J=1 TO ND
1060 V(Y,I)=V(Y,I)+S(Y,J)*P(J,I)
1070 NEXT J
1080 NEXT Y
1090 NEXT I
1100 PRINT "***** KAT KESME KUVVETLERININ SPEKTRAL DEGERLERİ *****"
1110 FOR I=1 TO ND:FOR J=1 TO ND
1120 PRINT USING "#.#";V(I,J),
1130 NEXT J:PRINT :PRINT :NEXT I:A$=INPUT $(1)
1140 PRINT -
1150 REM DEVIRME MOMENTLERININ HESABI
1160 FOR I=1 TO ND
1170 FOR Y=1 TO ND
1180 FOR J=1 TO ND
1190 MD(Y,I)=MD(Y,I)+S(Y,J)*V(J,I)*H
1200 NEXT J
1210 NEXT Y
1220 NEXT I
1230 PRINT "***** DEVIRME MOMENTLERININ SPEKTRAL DEGERLERİ *****"

```

```

1240 FOR I=1 TO ND:FOR J=1 TO ND
1250 PRINT USING "#####.#####";MD(I,J),
1260 NEXT J:PRINT :PRINT :NEXT I:A$=INPUT $(1):CLS
1270 REM MODAL BIRLESIMLERIN SPEKTRAL KARELERİ TOPLAMININ KAREKOKU DEGERLERİ
1280 FOR I=1 TO ND
1290 FOR J=1 TO ND
1300 UK(J,I)=U(J,I)^2
1310 VK(J,I)=V(J,I)^2
1320 MDK(J,I)=MD(J,I)^2
1330 NEXT J
1340 NEXT I
1350 FOR I=1 TO ND
1360 FOR J=1 TO ND
1370 UKT(I,1)=UKT(I,1)+UK(I,J)
1380 VKT(I,1)=VKT(I,1)+VK(I,J)
1390 MDKT(I,1)=MDKT(I,1)+MDK(I,J)
1400 NEXT J
1410 NEXT I
1420 FOR I=1 TO ND
1430 UKTK(I,1)=UKT(I,1)^.5
1440 VKTK(I,1)=VKT(I,1)^.5
1450 MDKTK(I,1)=MDKT(I,1)^.5
1460 NEXT I
1470 PRINT "OTELEME" KAT KESME KUVVET DEVIRME MOMENT -
1480 PRINT "DEGERLERİ" DEGERLERİ -
1490 PRINT "(CM)" (KN.CM/SN^2) (KN.CM^2/SN^2) -
1500 PRINT "-----" -----
1510 PRINT -
1520 FOR I=1 TO ND
1530 PRINT USING "#####.#####" "#####.#####" "#####.#####" *;UKTK
(I,1),VKT(I,1),MDKTK(I,1)
1540 NEXT I
1550 END
1560 *****
1570 *
1580 ' BU PROGRAM GENELLESTIRILMIS EIGEN PROBLEMINI COZMEKTEDIR (A-B-W**2)(Y)
=0
1590 *
1600 ' DEGISKENLERIN ATANMASI
1610 ' ND = MATRIS BOYUTLARI
1620 ' A(I,J) = RIJITLIK MATRISI
1630 ' B(I,J) = KUTLE MATRISI
1640 '
1650 ' CIKIS SONUCLARI
1660 '
1670 ' EIGV(I) = ND EIGENDEGERLERİ
1680 ' X(I,J) = ND EIGENVEKTORLERİ X(I,J)'LER OLARAK KOLON NORMUNDAYA
1690 '
1700 '
1710 ' *RIJITLIK VE KUTLE MATRISLERININ TESKILI*
1720 '
1730 DIM X(30,30),EIGV(30),A(30,30),B(30,30),D(30),CM(30),JC(30)
1740 REM BU ALTPROGRAMDA A MATRISINE K RIJITLIK MATRISI DATASINI ATAMA
1750 FOR I=1 TO ND
1760 FOR J=1 TO ND
1770 A(I,J)=K(I,J)
1780 NEXT J
1790 NEXT I
1800 REM BU ALTPROGRAMDA B MATRISINE M KUTLE MATRISI DATASINI ATAMA
1810 FOR I=1 TO ND
1820 FOR J=1 TO ND
1830 B(I,J)=M(I,J)
1840 NEXT J
1850 NEXT I
1860 CLS
1870 PRINT:PRINT " **DOGAL FREKANSLARIN HESABI** --LUTFEN BEKLEYINIZ--"
1880 '

```

```

1890 '
1900 C$="*****.*****"
1910 NMAX=15
1920 RTCL=1E-12
1930 FOR I=1 TO ND
1940 'IF A(I,I)>0 AND B(I,I)>0 THEN GOTO 2430
1950 'PRINT "HATA MATRIS DEGERLERİ POZITIF DEGIL":STOP
1960 D(I)=A(I,I)/B(I,I)
1970 EIGV(I)=D(I)
1980 NEXT I
1990 FOR I=1 TO ND
2000 FOR J=1 TO ND
2010 X(I,J)=0
2020 NEXT J
2030 X(I,I)=1
2040 NEXT I
2050 NSWEEP=0
2060 NR=ND-1
2070 '
2080 '          "DERLEME VE ITERASYON"
2090 '
2100 NSWEEP=NSWEEP+1
2110 EPS=(.01^NSWEEP)^2
2120 FOR J=1 TO NR
2130 JJ=J+1
2140 FOR K=JJ TO ND
2150 AEPTL=(A(J,K)*A(J,K))/(A(J,J)*A(K,K))
2160 BEPTL=(B(J,K)*B(J,K))/(B(J,J)*B(K,K))
2170 IF AEPTL<EPS AND BEPTL<EPS THEN GOTO 2940
2180 AKK=A(K,K)*B(J,K)-B(K,K)*A(J,K)
2190 AJJ=A(J,J)*B(J,K)-B(J,J)*A(J,K)
2200 AB=A(J,J)*B(K,K)-A(K,K)*B(J,J)
2210 CHECK=(AB*AB+4*AKK*AJJ)/4
2220 IF CHECK>=0 THEN GOTO 2240
2230 PRINT "HATA MATRIS DEGERLERİ POZITIF DEGIL":STOP
2240 SQCH=SQR(CHECK)
2250 D1=AB/2+SQCH
2260 D2=AB/2-SQCH
2270 DEN=D1
2280 IF ABS(D2)>ABS(D1) THEN DEN=D2
2290 IF DEN<>0 THEN GOTO 2330
2300 CA=0
2310 CG=-A(J,K)/A(K,K)
2320 GOTO 2380
2330 CA=AKK/DEN
2340 CG=-AJJ/DEN
2350 '
2360 '          "GENELLESTIRILMIS ROTASYON-DIYAGONAL ELEMANLAR"
2370 '
2380 IF (ND-2)=0 THEN GOTO 2770
2390 JP1=J+1
2400 JM1=J-1
2410 KP1=K+1
2420 KM1=K-1
2430 IF (JM1-1)<0 THEN GOTO 2550
2440 FOR I=1 TO JM1
2450 AJ=A(I,J)
2460 BJ=B(I,J)
2470 AK=A(I,K)
2480 BK=B(I,K)
2490 A(I,J)=AJ+CG*AK
2500 B(I,J)=BJ+CG*BK
2510 A(I,K)=AK+CA*AJ
2520 IF IT=2 THEN STOP
2530 B(I,K)=BK+CA*BJ
2540 NEXT I

```

```

2550 IF (KP1-ND)>0 THEN GOTO 2660
2560 FOR I=KP1 TO ND
2570 AJ=A(J,I)
2580 BJ=B(J,I)
2590 AK=A(K,I)
2600 BK=B(K,I)
2610 A(J,I)=AJ+CG*AK
2620 B(J,I)=BJ+CG*BK
2630 A(K,I)=AK+CA*AJ
2640 B(K,I)=BK+CA*BJ
2650 NEXT I
2660 IF (JP1-KM1)>0 THEN GOTO 2770
2670 FOR I=JP1 TO KM1
2680 AJ=A(J,I)
2690 BJ=B(J,I)
2700 AK=A(I,K)
2710 BK=B(I,K)
2720 A(J,I)=AJ+CG*AK
2730 B(J,I)=BJ+CG*BK
2740 A(I,K)=AK+CA*AJ
2750 B(I,K)=BK+CA*BJ
2760 NEXT I
2770 AK=A(K,K)
2780 BK=B(K,K)
2790 A(K,K)=AK+2*CA*A(J,K)+CA*CA*A(J,J)
2800 B(K,K)=BK+2*CA*B(J,K)+CA*CA*B(J,J)
2810 A(J,J)=A(J,J)+2*CG*A(J,K)+CG*CG*AK
2820 B(J,J)=B(J,J)+2*CG*B(J,K)+CG*CG*BK
2830 A(J,K)=0
2840 B(J,K)=0
2850 '
2860 ' *HER ROTASYONDAN SONRAKI EIGEN/OZVEKTORU *
2870 '
2880 FOR I=1 TO ND
2890 XJ=X(I,J)
2900 XK=X(I,K)
2910 X(I,J)=XJ+CG*XX
2920 X(I,K)=XK+CA*XJ
2930 NEXT I
2940 NEXT K
2950 NEXT J
2960 '
2970 ' *HERDERLEMEDEDEN SONRAKI EIGEN/OZ DEGERLERİ*
2980 FOR I=1 TO ND
2990 'IF A(I,I)>0 AND B(I,I)>0 THEN GOTO 3480
3000 'PRINT "HATA MATRIS DEGERLERİ ZAYIF"; STOP
3010 EIGV(I)=A(I,I)/B(I,I)
3020 NEXT I
3030 FOR I=1 TO ND
3040 TLO= RTCL*D(I)
3050 DFI=ABS(EIGV(I)-D(I))
3060 IF DFI>TLO THEN GOTO 3910
3070 NEXT I
3080 '
3090 ' *KONTROL-DIYAGONAL ELEMANLAR VE ISTENIYORSA TEKRAR DERLEME*
3100 '
3110 EPS=RTCL^2
3120 FOR J=1 TO NR
3130 JJ=J+1
3140 FOR K=JJ TO ND
3150 AEPS=(A(J,K)*A(J,K))/(A(J,J)*A(K,K))
3160 BEPS=(B(J,K)*B(J,K))/(B(J,J)*B(K,K))
3170 IF AEPS<EPS AND BEPS<EPS THEN GOTO 3190
3180 GOTO 3910
3190 NEXT K
3200 NEXT J
3210 '

```

```

3220 '
3230 '
3240 FOR I=1 TO ND
3250 FOR J=1 TO ND
3260 A(J,I)=A(I,J)
3270 B(J,I)=B(I,J)
3280 NEXT J
3290 NEXT I
3300 FOR J=1 TO ND
3310 BB=SQR(B(J,J))
3320 FOR K=1 TO ND
3330 X(K,J)=X(K,J)/BB
3340 NEXT K
3350 NEXT J
3360 '
3370 '      *MATTRIS USTDEGERI VE YENIDEN DERLEME*
3380 FOR I=1 TO ND
3390 D(I)=EIGV(I)
3400 NEXT I
3410 KX=0
3420 FOR J=1 TO ND
3430 SMALL=1E+20
3440 FOR I=1 TO ND
3450 IF D(I)>SMALL THEN GOTO 3480
3460 KKK=I
3470 SMALL=D(I)
3480 NEXT I
3490 KX=KX+1
3500 JC(KX)=KKK
3510 EIGV(J)=D(KKK)
3520 D(KKK)=1E+20
3530 NEXT J
3540 FOR I=1 TO ND
3550 II=JC(I)
3560 CM(II)=I
3570 NEXT I
3580 FOR J=1 TO ND
3590 FOR JT=1 TO ND
3600 JJ=JC(J)
3610 VV=X(JT,J)
3620 X(JT,J)=X(JT,JJ)
3630 X(JT,JJ)=VV
3640 NEXT JT
3650 KJ=CM(J)
3660 JC(KJ)=JJ
3670 CM(JJ)=CM(J)
3680 NEXT J
3690 '
3700 '          *CIKIS DEGERLERİ*
3710 '
3720 IF NSX=8 THEN 3950
3730 PRINT:PRINT "*****EIGENDEGERLERİ*****":PRINT
3740 FOR IL=1 TO ND
3750 PRINT USING " .#####": EIGV(IL),
3760 NEXT IL
3770 PRINT:PRINT:PRINT"      DOGAL FREKANSLAR (C.P.S.):":PRINT
3780 FOR IL=1 TO ND
3790 IF EIGV(IL)<0 THEN FRQ(IL)=0 ELSE FRQ(IL)=SQR(EIGV(IL))/6.283185
3800 PRINT USING " .#####": FRQ(IL),
3810 NEXT IL
3820 PRINT
3830 PRINT:PRINT "EIGEN/OZ VEKTORLERİ MODAL MATTRIS KOLON NORMUNDASI":PRINT
3840 FOR LI=1 TO ND
3850 FOR LJ=1 TO ND

```

```

60 PRINT USING "##.####"; X(LI,LJ),
70 NEXT LJ
80 PRINT:PRINT
90 NEXT LI
00 GOTO 3950
10 FOR I=1 TO ND
20 D(I)=EIGV(I)
30 NEXT I
40 IF NSWEEP<NMAX THEN GOTO 2100 ELSE GOTO 3240
50 IF NSX=8 OR NIM=11 THEN PRINT "SPM"
60 PRINT :PRINT :PRINT " DEVAM ETMEK ICIN HERHANGI BIR TUSA BASINI
70 A$=INKEY$ :IF A$="" THEN 3970
80 IF NIM=10 THEN PRINT "SPM"
90 PRINT :PRINT :PRINT " ANA PROGRAMA DONMEK ICIN HERHANGI BIR TUSA B
00 A$=INKEY$ :IF A$="" THEN 4000
05 PRINT "KOK ICINDE KM DEGERINI VER":INPUT KKM:CLS
10 FOR I=1 TO ND
20 FOR J=1 TO ND
40 FI(I,J)=X(I,J):F(I)=FRQ(I):W(I)=SQR (EIGV(I))*KKM
50 NEXT J
60 NEXT I
70 REM NORMALIZE ISLEMI
80 FOR I=1 TO ND
90 BU(I)=0:NEXT I
00 FOR I=1 TO ND
10 FOR J=1 TO ND
20 IF ABS(FI(J,I))>BU(I) THEN BU(I)=ABS (FI(J,I)):GOTO 4130
30 NEXT J:NEXT I
40 FOR I=1 TO ND:FOR J=1 TO ND:FI(J,I)=FI(J,I)/BU(I)
50 NEXT J:NEXT I
60 RETURN
70 REM K RIJITLIK MATRISI DATASI
80 DATA 2,-1,0,-1,2,-1,0,-1,1
90 REM M RIJITLIK MATRISI DATASI
00 DATA 1,0,0,0,1,0,0,0,0,5

```

TEK SERBESTLIK DERECELİ YAPI DİNAMIĞİ PROBLEMI
 ELASTİK YAPI SİSTEMİ BİLGİSAYAR PROGRAMI
 SONUÇ ÇIKIŞLARI

A:\>TYPE D.OUT

ZAMAN (sn)	KONUM (mm)	HİZ (mm/sn)	IVME (mm/sn ²)
0.00	0.00	0.00	1312.34
0.10	3.25	31.97	-672.95
0.20	3.66	-18.01	-326.60
0.30	1.36	-16.64	353.99
0.40	1.08	7.10	120.80
0.50	1.91	4.54	-172.05
0.60	1.79	-4.04	0.51
0.70	1.50	-0.65	67.17
0.80	1.62	1.76	-18.85
0.90	1.70	-0.23	-21.05
1.00	1.63	-0.62	13.22
1.10	1.16	-13.43	-269.37
1.20	-0.50	-9.72	343.56
1.30	-0.32	7.96	9.99
1.40	0.29	1.59	-137.20
1.50	0.04	-3.56	34.19
1.60	-0.12	0.36	44.19

A:\>KEMAL BEYEN

ELASTİK OLMAYAN YAPI SİSTEMİ BİLGİSAYAR PROGRAMI

SONUÇ ÇIKIŞLARI

A:\>TYPE D2.OUT

ZAMAN (sn)	KONUM (mm)	HİZ (mm/sn)	IVME (mm/sn ²)
0.00	0.00	0.00	1312.34
0.10	3.25	31.97	-101.62
0.20	5.87	19.77	-142.42
0.30	7.13	5.21	-148.81
0.40	7.11	-3.40	-17.57
0.50	6.82	-1.05	64.55
0.60	6.91	1.62	-11.05
0.70	7.00	-0.04	-22.19
0.80	6.94	-0.62	10.48
0.90	6.92	0.19	5.77
1.00	6.95	0.19	-5.70
1.10	6.50	-13.82	-274.61
1.20	4.78	-9.93	352.42
1.30	4.98	8.17	9.58
1.40	5.60	1.62	-140.55
1.50	5.35	-3.64	35.28
1.60	5.18	0.38	45.19

A:\>

SÜPERPOZİSYON METODU İLE ÇOKSERBEST DERECELİ BİR SİSTEMİN
BİLGİSAYAR PROGRAMI SONUÇ ÇIKIŞLARI

*****EIGENDEGERLERİ*****

.267949E+00 .200000E+01 .373205E+01

DOGAL FREKANSLAR (C.P.S.):

.823847E-01 .225079E+00 .307464E+00

EIGEN/OZ VEKTORLERİ MODAL MATRIS KOLON NORMUNDА

0.40825 -0.81650 0.40825

0.70711 0.00000 -0.70711

0.81650 0.81650 0.81650

DEVAM ETMEK ICIN HERHANGI BIR TUSA BASINIZ

NORMALIZE EDILMIS OZ VEKTORLER MODAL MATRIS KOLON NORMUNDА
0.500000 -1.000000 0.500000

0.866025 0.000000 -0.866026

1.000000 1.000000 1.000000

***** KUTLE MATRISI *****

1.5000 1.5000 1.5000

*****Q(I) KATILIM FAKTOR DEGERLERİ*****

1.24402 -0.33333 0.08932

YALANCI DEPLASMAN PSD DEGERLERINI SONUM YUZDESINE GORE OKUT

? 90

? 65

? 40

*****GENELLESTIRILMIS KOORDINATLARIN SPEKTRAL DEGERLERİ***
8.67289 -0.61433 0.07415

***** OTELEMELERIN SPEKTRAL DEGERLERİ *****

4.336442 0.614325 0.037077

7.510938 -0.000000 -0.064220

8.672885 -0.614325 0.074155

KAT YUKSEKLIGI = H = ?

? 3

***** YANAL DEPREM KUVVETLERININ SPEKTRAL DEGERLERİ *****
 722.676700 764.163300 86.062400

1251.713000 -0.000030-149.064500

722.676800-382.081600 86.062410

***** KAT KESME KUVVETLERININ SPEKTRAL DEGERLERİ *****
 2697.066000 382.081700 23.060330

1974.390000-382.081600 -63.002080

722.676800-382.081600 86.062410

***** DEVIRME MOMENTLERININ SPEKTRAL DEGERLERİ *****
 16182.400000-1146.245000 138.362000

8091.199000-2292.490000 69.181000

2168.030000-1146.245000 258.187200

OTELEME DEGERLERİ (CM)	KAT KESME KUVVET DEGERLERİ (KN.CM/SN^2)	DEVIRME MOMENT DEGERLERİ (KN.CM^2/SN^2)
4.3799	2724.093000	16223.530000
7.5112	2012.006000	8409.979000
8.6949	821.981700	2465.944000

Ok

K E M A L B E Y E N

TARTIŞMA VE SONUÇLAR

Cisimlerin karakteristik özellikleriyle tabiatın denge kanunları çerçevesinde cisimlerin davranışını inceleyen dinamike ilk bölmelerinde çok özel veya bizim tanımlayabileğimiz yük-kuvvet tipleri ile ilgili açıklamaların arkasından çözülen yükleme tipi çok genelleştirilmiş özel amaçlı yükleme modeli olup bunu pratikte bir çarpmacı olayı ile paralellik kurdurabiliriz. Problemdeki incelememizde iterasyon metodlarından sabit doğrusal ivmeli çözümün yanı sıra adım adım integral metoduyla bir el çözümü tablosu teşkil edilerek elastik ve elastik olmayan kabüllere göre çözümler verilmişdir. Burada dikkat edilecek husus yapının plastik çözümde deplasmanları alarak rijiditesini düşürüp, yay kuvvetini sabit tutarak, bir enerji emmesine girişip, duktulite limite kadar bu davranışını sürdürmektedir. Sonra bir geri dönüş ile elastik eğime paralel bir doğru boyunca azalarak eksi yay kuvvetine ulaştığı gözlenebilir. Elastik deplasman noktasına geçişte oluşan plastik mafsalları yapıcı bir plastikleşme tesiri bıraktığı malumdür.

Üçüncü örnekte ele alınan çok katlı yapı-çokserbest dereceli sistem çözümünde el hesaplamasına kolaylık teşkil etmesi için üç serbest dereceli, üç katlı yapı çözümü uygulanmıştır. Süperpozisyon metoduyla bir sistemin çözümünde karşılaşılan en büyük sorun oluşan Eigen/Öz denklem takımının bir simultane lineer denklem takımı olup bunun

çözümünün bir takım güçlükler içermesidir. Çok serbest dereceli bir sistemde herhangi bir kuvvet veya idealize edilmiş bir tesir kuvvetini uygulamak yerine doğal kuvvette müracaat edilmiştir. Yapının maruz kalabileceği depremlerin karakter ve şiddetini evvelden belirtme imkansızlığı yanında, son örnekde kullanıldığı gibi hesap bölgesinde, kayda geçmiş olan veya yakın civar noktalarda oluşmuş olan depremin karakteristik özelliklerini içeren spektral değerler ile bir hesaplamaya gidilmiştir. Föylece bu çalışma ile deprem hesapları ile öngörülen çok genelleştirilmiş ve ampirikleşmiş şartlar yerine deprem temiri altındaki yapılarda daha gerçek bir yaklaşımı işaret edilmiştir.

Yapılan bilgisayar programı ile ortaya çıkan Eigen/Öz değerler probleminin on serbestlik dereceseye kadar çözümünün süperpozisyon metodu uygulayarak mümkün kılmaktadır.

ÖZGEÇMİŞ

1960 İSTANBUL doğumluyum. Liseyi, İSTANBUL Taksim Atatürk Erkek Lisesinde okudum.

Lisans öğrenimime, 1980-1981 öğretim yılında İSTANBUL Yıldız Üniversitesi Fen Bilimleri Fakültesi İnşaat bölümünde başladım. Mezuniyetimden sonra bir inşaat firmasında çalışmalarımı sürdürürken Fen Bilimleri Enstitüsünün açmış olduğu sınav ile İnşaat/Yapı dalında eğitim almaya başladım. Bunun paralelinde yurt dışında bazı çalışmalar yaptım.

Halen bir şantiyede bilgisayar destekli araştırma gurubu ile çalışıyorum.

YARARLANILAN KAYNAKLAR

- 1) CELASUN, H. : "Betonarme Yapılar" I.D.M.M.A./Y.U.
Yayınları, 1980
- 2) ERDİK, Mustafa/YÜZÜĞÜLLÜ, Özal : "Deprem Mühendisliği
Açısından Yapı Dinamiğine Giriş" T.C.
İmar ve İskan Bakanlığı Deprem Araştır-
ma Enstitüsü Başkanlığı 1980
- 3) GÜNDÜZ, Altay : "Yapı Dinamigi Ders Notları"
- 4) CLOUGH, W, Ray/PENZIEN Joseph : "Dynamics of Struc-
tures" Mc Graw-Hill Inc, 1975
- 5) BIGGS, J ,M. : "Introduction to structural Dynamics"
Mc Graw-Hill Inc. 1964
- 6) DEMİR Halit : "Yapı Dinamigi Ders Notları"
- 7) ÇAKIROĞLU, A./ ÖZDEN, E. / ÖZMEN, G.: "Yapı Sistemle-
rinin Hesabı İçin Matris Metodları ve
Elektronik Hesap Makinası Programları.
Cild I,II" Dizerkonca Matbası, 1970
- 8) NEWMARK, N.M. / E.Rosenblueth : "Fundamentals of
Earthquake Engineering" Prentice
Hall Inc. 1971
- 9) THOMPSON, W.T. : "Theory of Vibration" Prentice-Hall
1972

This document was created with Win2PDF available at <http://www.daneprairie.com>.
The unregistered version of Win2PDF is for evaluation or non-commercial use only.